

EIDGENÖSSISCHE TECHNISCHE HOCHSCHULE ZÜRICH

Institut für Geophysik



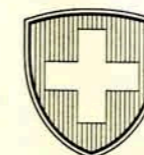
Kopie!

Jahresbericht

1959

des

Schweizerischen Erdbebendienstes



Jahresbericht 1959

des

Schweizerischen Erdbebendienstes

Inhaltsverzeichnis	Seite
Verzeichnis der Erdbebenstationen	3
Personal und Betrieb des Erdbebendienstes	4
Über die seismische Aktivität im Jahre 1959	4
Intensitätsskala de Rossi-Forel	4
Tabelle I	5
Tabelle II	6
Schweizerische Literatur zur Geophysik im Jahre 1959 . .	32
Tafeln	Anhang

Verzeichnis der Erdbebenstationen

	Zürich = Zü	Chur = Ch	Neuchâtel = Ne	Basel = Ba
Personal	Prof. Dr. F. Gaßmann Vorstand des Instituts für Geophysik der ETH. P.D. Dr. M. Weber, Leiter des Schweiz. Erdbebedienstes E. Peter W. Schneibel S. Renidear	Prof. Dr. h. c. A. Kreis Leiter der Erdbebenstation	Prof. Dr. J.-P. Blaser Direktor des Observatoriums Dr. R. Payot	Prof. Dr. W. Becker Direktor der Astronomisch-Meteorol. Anstalt. Dr. M. Bider
Aufstellungsort der Seismographen	Schweiz. Erdbebenwarte Degenried	Kantonsschule	Observatorium	Astronomisch-Meteorologische Anstalt Binningen bei Basel
Geogr. Breite	47° 22' 07,2" N	46° 50' 59,5" N	46° 59' 50,6" N	47° 32' 24" N
Geogr. Länge	8° 34' 49,5" E	9° 32' 12,1" E	6° 57' 26,2" E	7° 34' 58,5" E
Meereshöhe	604 m	630 m	487 m	309 m
Untergrund	Sandsteine und Mergel der ob. Süßwassermolasse	Bündnerschiefer des Penninikums	Urgonkalke der untern Kreideformation	Nagelfluh der Hochterrasse

Personal und Betrieb des Erdbebendienstes

Die laufenden Arbeiten des Erdbebendienstes sowie die Zusammenstellung der Tabellen besorgten die Herren E. Peter, W. Schneibel bis Ende April, und S. Renidear ab 1. August.

Wegen Revisionsarbeiten war die Erdbebenwarte Zürich das ganze Jahr außer Betrieb.

Die Apparate aller anderen Stationen (Universalseismographen de Quervain-Piccard) waren mit Ausnahme kleiner Unterbrüche dauernd in Betrieb.

Nähere Angaben über die Apparate sind in den früheren Jahresberichten enthalten.

Über die seismische Aktivität im Jahre 1959

Wir erhielten Meldungen über 25 verspürte Erschütterungen. Davon sind eindeutig 17 seismischen Ursprungs.

Im Wallis wurden dieses Jahr 6 Beben (im Vorjahr 10) schwach verspürt.

Die 17 verspürten Erschütterungen rein seismischen Ursprungs verteilen sich auf die verschiedenen Tagesstunden bzw. Monate wie folgt:

auf Tagesstunden

0-2	2-4	4-6	6-8	8-10	10-12	12-14	14-16	16-18	18-20	20-22	22-24
1	3	2	1	—	2	1	—	2	—	1	4

auf Monate

Jan.	Febr.	März	April	Mai	Juni	Juli	Aug.	Sept.	Okt.	Nov.	Dez.
—	1	1	4	—	1	5	1	2	—	1	1

Von den vier Stationen des Schweizerischen Erdbebendienstes wurden dieses Jahr 403 Beben aufgezeichnet. An der Bebenhäufigkeit tragen Kamtschatka, die Kurileninseln und die Aläuten den Hauptanteil bei.

Intensitätsskala de Rossi-Forel

Für die Beurteilung der Stärke der Erdstöße wurde wie früher die Rossi-Forel'sche oder italienisch-schweizerische *Intensitätsskala* zugrunde gelegt. Sie lautet:

- Grad
- I Mikroseismische Bewegung, notiert von einem Seismographen oder von mehreren Instrumenten derselben Art, aber nicht imstande, Seismographen verschiedener Konstruktion in Funktion zu versetzen. Konstatiert von einem geübten Beobachter.
 - II Stoß, registriert von Seismographen verschiedenen Systems, konstatiert von einer kleinen Anzahl, im Zustande der Ruhe befindlicher Beobachter.
 - III Erschütterung, beobachtet von mehreren Personen in der Ruhe; stark genug, daß Dauer oder Richtung geschätzt werden können.
 - IV Erschütterung, beobachtet von Personen in Tätigkeit; Erschütterung beweglicher Objekte, der Fenster, Türen, Krachen der Dielen.
 - V Erschütterung allgemein von der ganzen Bevölkerung bemerkt; Erschütterung größerer Gegenstände, der Möbel, Betten; Anschlagen einzelner Hausglocken.
 - VI Allgemeines Erwachen der Schlafenden; allgemeines Anschlagen der Hausglocken, Schwanken der Kronleuchter, Stillstehen von Uhren, sichtbares Schwanken der Bäume und Gesträucher. Einzelne Personen verlassen erschreckt die Häuser.
 - VII Umstürzen von beweglichen Gegenständen, Ablösen von Gipsstücken aus der Decke und von den Wänden, Anschlagen von Kirchenglocken, allgemeiner Schrecken, noch keine Beschädigung der Bauwerke.
 - VIII Herabstürzen von Kaminen, Risse in den Mauern von Gebäuden.
 - IX Teilweise oder gänzliche Zerstörung einzelner Gebäude.
 - X Großes Unglück, Ruinen, Umsturz von Erdschichten, Entstehen von Spalten in der Erdrinde, Bergstürze.

Anmerkung: Die Zeitangaben beziehen sich auf die *mittlere Zeit von Greenwich*. (G.M.T.)

Tabelle I In der Schweiz 1959 verspürte Erdbeben

Nr.	Datum	G. M. T. h m s	Epizentralgebiet und erschütterte Gebiete	Grad Rossi-Forel	Anzahl Meldg.	Tab. II Nr.	Bemerkungen
1	10. Febr.	7 20	Alt St. Johann und Unterterzen (Walensee) (Tafel 1)	II	2	46	Schütteln
2	1. März	22 08	Val d'Illeiez (Wallis) (Tafel 1)	II	1	—	1 Stoß
3	5. April	2 50	Zürich (Tafel 1)	III-IV	1	—	Vertikales Schaukeln
4	5. April	10 50	Genf (Tafel 2)	IV	1	96	Bewegungen von Bildern und Vasen
5	19. April	21 30	Bivio (Graubünden) (Tafel 1)	III-IV	1	113	Schaukeln etwa 3 Sek.
6	25. April	17 50	Bilten (Glarus) (Tafel 4)	IV	1	123	Klirren von Geschirr. Das Vieh wurde unruhig
	25. Mai	8 00 12 20	Zürich	II	1	—	Zittern
7	6. Juni	1 25	Tödimassiv 46° 52' N, 8° 53' E Stärke V in Schwanden, Linthal, Bilten, Unterschächen, Braunwald und Klausenpaß. Stärke IV-V in Muotathal, Mollis, Glarus; Stärke IV in Vorderthal (Wägital), Flims und Lachen SZ; Stärke III-IV in Näfels, Miltödi, Disentis, Pfaffhausen ZH und Goßau SG; Stärke III in Richterswil, Tamins und Zürich (?). (Tafel 3)	V	27	175	Dumpfer Knall, Getöse etwa 5-8 Sek. lang
8	3. Juli	3 56	Val d'Illeiez (Wallis) (Tafel 1)	IV-V	1	—	Von 6 Personen verspürt
9	3. Juli	4 58	Piz Muot (Albula) 46° 36' N, 9° 47' E Stärke V in Bergün, Filisur, Wiesen, Samaden, Sils-Maria, St. Moritz und Davos. Stärke IV-V in Pontresina und Zuoz; Stärke IV in Lavin, Schuls, Lenzerheide und Nisallas (Alvaschein); Stärke III-IV in Bivio und Savognin; Stärke III in Serneus und Muottas Muragl; Stärke II in Schönengrund (Appenzell) (?) (Tafel 4)	V	28	198	Zum Teil explosionsartig, zum Teil als Zittern versp., Ächzen im Gebälk
	4. Juli	1 40-45	Zürich. Limmatplatz	III-IV	1	—	Rollen im Erdinnern
10	10. Juli	23 55	Zürich, Albisrieden	III	1	—	Bett heftig geschwankt
	24. Juli	18 45	Zürich 3	IV	1	—	4mal Zittern; Bewegen der Lampen
11	24. Juli	22 23	Visp (Tafel 2)	III-IV	1	226	Kurzer Stoß mit schwachem Dröhnen
12	28. Juli	12 32	Wald, Zürich-Oberland (Tafel 4)	III-IV	1	—	Kafeekanne umgefallen
	19. Aug.	10 08	Uster	III	1	—	Zittern der Möbel
13	31. Aug.	10 45	Albulatal 46° 39' N, 9° 38' E Savognin, Filisur und Surava (Tafel 2)	IV	3	275	Zittern, Klirren des Geschirrs und der Scheiben
14	8. Sept.	23 59	Sion (Wallis) (Tafel 3)	III	1	288	Herd: Am Berg le Catogne bei Les Valettes 46° 04' N, 7° 08' E
15	26. Sept.	4 29	Muotathal (Tafel 2)	III	1	310	Senkrecht Zittern
16	2. Nov.	17 34	Val d'Illeiez (Wallis) (Tafel 1)	IV	1	—	Rollen
	10. Nov.	8 37	Zürich 6	III	1	—	Schwanken und Zittern von Gegenständen
17	17. Dez.	2 45	Sion (Wallis) und Gryon (Waadt) (Tafel 3)	III	2	380	Zittern
	17. Dez.	3 45 (?)	Les Diablerets	?	1	—	
	17. Dez.	23 27	Zollikon (Zürich)	III	1	—	Andauerndes Schaukeln
	18. Dez.	2 30	Zürich 6	II-III	1	—	Knacken der Wände, eventuell 1 1/2 Stunden später 2. Stoß

* Herdzeit, aus Registrierungen bestimmt.

Tabelle II In der Schweiz 1959 registrierte Erdbeben

Bemerkungen

1. Die Zeitangaben beziehen sich auf die mittlere Zeit von Greenwich (G. M. T.).
2. Die Buchstabengruppen BCIS und USCGS sind gebräuchliche Abkürzungen für Bureau Central International de Séismologie bzw. United States Coast and Geodetic Survey.
3. Die Abkürzungen bedeuten: Ba = Basel, Ne = Neuchâtel, Ch = Chur, Zü = Zürich.
D = Dilatation, ML = Minuten-Lücke, K = Kompression
4. Die Ablesungen beziehen sich auf die de Quervain-Piccard-Seismographen.

Nr.	Datum	Station	Epizentral- entfernung nach S-P	Max. Doppel- Amplit.	Ungef. Dauer der Reg.	Tab. I Nr.	Phasen, Bemerkungen	
	1959		km	mm	min			
1	Jan. 1.	Ch Ne Ba	530	1/2 <1/2 3	2 1/2 3 3	—	eP 23 h 58 m 07.6 s e 23 h 58 m 23.1 s e 23 h 59 m 36.6 s	eS 23 h 59 m 03.7 s e 23 h 59 m 34 s
2	2.	Ba Ch Ne	—	17 22 43	8-12 8 8-12	—	e 05 h 21 m 36.1 s D e 05 h 21 m 56.2 s e 05 h 22 m 39.5 s	e 05 h 22 m 19 s e 05 h 24 m 44.1 s e 05 h 23 m 44 s
							USCGS: H = 05 h 19 m 41 s, 47° 7' N, 4° W. Auf der südl. Breite des Pt. de Pen- march. Verspürt in Westfrankreich	
3	3.	Ne	2260	<1/2	3	—	eP 08 h 03 m 50.2 s	USCGS: H = 07 h 59 m 12 s, 35° 1/2' N, 29° 1/2' E. Auf der Breite der Südküste der Türkei
4	4.	Ne Ba	2225 2210	<1/2 1	3 1	—	ePP 23 h 19 m 18.3 s ePP 23 h 19 m 29.0 s	USCGS: H = 23 h 14 m 38 s, 35° N, 28° E. Mittelmeer bei Kreta
5	5.	Ch Ne Ba	— 17000	1.4 1 2	2 8-12 5-7	—	ePKP 10 h 06 m 32.5 s K ePKP 10 h 06 m 33.8 s e 10 h 06 m 40.2 s K	i 10 h 06 m 39.2 s ePPP 10 h 10 m 21 s
							USCGS: H = 09 h 46 m 42 s, 22° S, 171° 1/2' E, Region der Loyalty-Inseln	
6	7.	Ch Ne Ba	4300 4500 4400	0.7 <1/2 1	8 3 1	—	eP 05 h 20 m 43.7 s eP 05 h 20 m 52.4 s eP 05 h 20 m 55.8 s	ePS 05 h 26 m 40.7 s
							USCGS: H = 05 h 13 m 18 s, 29° N, 55° E. Südpersien	
7	7.	Ne Ba	—	<1/2 1	4 1	—	eP 22 h 26 m 25.3 s eP 22 h 26 m 27.3 s	USCGS: H = 22 h 21 m 55 s, 37° N, 29° 1/2' E. SW der Türkei
8	8.	Ne Ba Ch	—	<1/2 1 0.3	3 1 2	—	eP 01 h 44 m 19.8 s eP 01 h 44 m 21.6 s eP 01 h 44 m 30.2 s	ePcP 01 h 45 m 20 s
							USCGS: H = 01 h 33 m 48 s, 15° 1/2' N, 61° W. Windward-Inseln, verspürt in Trinidad	
9	8.	Ne	—	1	2	—	i 07 h 32 m 55.8 s	i 07 h 33 m 14.7 s
10	9.	Ch Ba Ne	—	0.8 1 <1/2	5 5-7 5-7	—	eP 01 h 58 m 24.8 s D eP 01 h 58 m 37.6 s eP 01 h 58 m 39.8 s	eS 02 h 00 m 50.8 s eS 02 h 01 m 50 s eS 02 h 01 m 31 s
							BCIS: H = 01 h 55 m 04 s, 36° 1/2' N, 21° 1/2' E, auf der Breite der Südküste des Peloponnes	
11	11.	Ne Ba	—	<1/2 1	5-7 2	—	eP 04 h 31 m 51.6 s eP 04 h 31 m 52.4 s	USCGS: H = 04 h 27 m 23 s, 36° 1/2' N, 29° E, bei der Südküste der Türkei
12	14.	Ba	195	2	3	—	eP 16 h 39 m 29.1 s	eS 16 h 39 m 52 s
13	16.	Ne Ch	—	<1/2 1/2	5-7 2	—	e 01 h 43 m 39.3 s e 01 h 43 m 40.0 s K	USCGS: H = 01 h 31 m 25 s, 52° N, 171° W, Fuchs-Inseln, Aläuten
14	16.	Ba Ne Ch	204 300 550	32 17 2 1/2	8-12 8-12 4	—	eP 18 h 09 m 50.9 s eP 18 h 09 m 56.6 s	ePP 18 h 09 m 55 s ePn 18 h 10 m 02 s eS 18 h 10 m 15 s eS 18 h 10 m 32 s eR 18 h 10 m 36 s
							iP 18 h 10 m 12.1 s eS 18 h 11 m 08.4 s Nach Straßburg und BCIS: H = 18 h 09 m 16.9 s, 49° 12' 24" N, 6° 01' 54" E Einsturz einer Eisengrube von Roncourt, etwa 12 km NW Metz.	
15	18.	Ba Ne	—	2 1	4 5-7	—	e 22 h 42 m 20.9 s e 22 h 42 m 22.9 s	e 22 h 44 m 19 s
							USCGS: H = 22 h 23 m 15 s, 19° S, 178° W, h etwa 450 km. Fidji-Inseln	

Nr.	Datum	Station	Epizentral- entfernung nach S-P	Max. Doppel- Amplit.	Ungef. Dauer der Reg.	Tab. I Nr.	Phasen, Bemerkungen	
	1959		km	mm	min			
16	Jan. 21.	Ne Ba	—	<1/2	1	—	e 15 h 02 m 30.8 s e 15 h 02 m Spuren	e 15 h 02 m 43 s
17	22.	Ch Ba Ne	—	11 11 15	60 15-45 60-120	—	eP 05 h 23 m 02.7 s K eP 05 h 23 m 11.7 s USCGS: H = 05 h 10 m 25 s, 34° N, 142° E, bei der	eS 05 h 33 m 28.3 s eS 05 h 31 m 21 s eS 05 h 28 m 18 s E-Küste von Hondo, Japan
18	24.	Ne Ba Ch	2900 — 3000	4 5 1.5	60-120 5-7 30	—	eP 20 h 00 m 40.7 s eP 20 h 00 m 41.4 s eP 20 h 00 m 56.1 s D	e 20 h 01 m 12 s eS 20 h 05 m 32 s USCGS und BCIS: H = 19 h 55 m 15 s, 37° 1/2' N, 24° 1/2' W, im Osten der Azoren
19	26.	Ch	250	0.2	1 1/2	—	eP 05 h 05 m 48.4 s K	eS 05 h 06 m 17.7 s Vermutlich Vorstoß von Nr. 20; Ligurischer Apennin
20	26.	Ch Ba Ne	—	7 8 2	3-4 5-7 5-7	—	iP 05 h 36 m 21.4 s D eP 05 h 36 m 30.4 s eP 05 h 36 m 31.7 s	e 05 h 36 m 48.2 s eS 05 h 37 m 12 s e 05 h 37 m 34 s eS 05 h 37 m 07 s
							BCIS: H = 05 h 35 m 40 s, 44° 8' N, 9° 5' E. Ligurischer Apennin	
21	26.	Ch	235	—	—	—	eP 05 h 51 m 06.7 s D	eS 05 h 51 m 36.0 s Vermutlich Nachstoß von Nr. 20 (H = 05 h 35 m 40 s)
22	26.	Ch	237	—	—	—	eP 06 h 27 m 03.1 s D	eS 06 h 27 m 33 s Vermutlich Nachstoß von Nr. 20 (H = 05 h 35 m 40 s)
23	26.	Ne	—	<1/2	5-7	—	e 11 h 43 m 03.4 s	USCGS: H = 11 h 38 m 35 s, 37° N, 29° 1/2' E. SW der Türkei
24	27.	Ba Ne	—	3 1	4 8-12	—	eP 03 h 40 m 47.3 s eP 03 h 40 m 56.1 s	BCIS: H = 03 h 35 m 29 s, 71° 1/2' N, 2° W, Nordatlantik, Region der Jan-Mayen- Insel
25	28.	Ch	—	0.2	<1	—	e 22 h 21 m 35.5 s K	e 22 h 21 m 46.7 s
26	29.	Ba Ne Ch	2600 — 2700 2650	6 4 2.3	15-45 15-45 20	—	eP 23 h 29 m 41.1 s iP 23 h 29 m 48.7 s eP 23 h 29 m 49.9 s	ePP 23 h 30 m 00 s eS 23 h 34 m 03 s eL 23 h 40 m 46 s eS 23 h 34 m 15 s
							USCGS: H = 23 h 24 m 30 s, 71° N, 8° E. Nordatlantik	
27	30.	Ch	—	1.2	1	—	e 16 h 56 m 58.8 s K	
28	30.	Ba Ch Ne	—	1 <1/2 1	5-7 1 15-45	—	ePKP 18 h 29 m 15.3 s ePKP 18 h 29 m 51.1 s iPKP 18 h 29 m 55.7 s	e 18 h 29 m 53.1 s K ePKS 18 h 32 m 27 s USCGS: H = 18 h 09 m 02 s, 31° S, 179° W. Kermadec-Inseln
29	30.	Ba Ch Ne	—	1 1.3 1	2 <60 60-120	—	eP 20 h 51 m 16.8 s P 20 h 51 m 19.6 s ML eP 20 h 51 m 23.0 s	eL 21 h 21 m 50 s
							USCGS: H = 20 h 38 m 58 s, 44° N, 144° E. Hokkaido, Japan	
30	30.	Ba Ch Ne	—	1 2 3	3 60 60-120	—	eP 22 h 29 m 04.8 s eP 22 h 29 m 09.1 s K eP 22 h 29 m 12.3 s	eL 22 h 57 m 46 s eS 22 h 39 m 26 s eL 22 h 59 m 10 s
							USCGS: H = 22 h 16 m 47 s, 44° N, 144° E. Hokkaido, Japan; Nachstoß	
31	31.	Ch	—	0.7	1	—	iPKP 06 h 05 m 22.4 s D	e 06 h 05 m 33.3 s K BCIS: H = 05 h 46 m 17 s, 19° S, 178° W. Fidji-Inseln
32	Feb. 2.	Ch Ba Ne	—	0.4 1 1	>1 1 8-12	—	eP 19 h 24 m 29.9 s D eP 19 h 24 m 46.7 s eP 19 h 24 m 46.8 s	eS 19 h 28 m 08 s USCGS: H = 19 h 20 m 37 s, 35° N, 24° E. Südküste von Kreta
33	4.	Ne Ba	94 158	1 2	2 3	—	iP 03 h 23 m 08.8 s eP 03 h 23 m 19.3 s	eS 03 h 23 m 20 s eS 03 h 23 m 38 s e 03 h 23 m 24 s
							BCIS: H = 03 h 22 m 48 s, 46° 1/4' N, 6° 1/2' E. NW des Mont-Blanc	
34	4.	Ba	—	2	3	—	e 15 h 03 m 28.8 s D	
35	4.	Ch	10	8	1/2	—	iP 16 h 20 m 51.9 s K	iS 16 h 20 m 53.1 s

Nr.	Datum	Station	Epizentral-entfernung nach S-P	Max. Doppel-Amplit.	Ungef. Dauer der Reg.	Tab. I Nr.	Phasen, Bemerkungen
			km	mm	min		
36	1959 Feb. 5.	Ba Ne	—	2 1	2 8-12	—	eP 01 h 16 m 23.8 s K eP 01 h 16 m 26.6 s USCGS: H = 01 h 04 m 50 s, 57° 1/2 N, 157° 1/2 W. Alaska
37	6.	Ne	—	<1/2	5-7	—	ePcP 14 h 45 m 44.7 s USCGS: H = 14 h 33 m 02 s, 51° N, 175° 1/2 W. Andeanow-Inseln, Aläuten
38	7.	Ne Ba Ch	—	5 6 2,7	60-120 60-120 90	—	P 09 h 50 m 01.8 s ML e 09 h 53 m 15 s e 09 h 59 m 36 s e 10 h 01 m 03 s eP 09 h 50 m 05.2 K e 09 h 51 m 17 s e 09 h 59 m 46 s e 10 h 15 m 17 s eP 09 h 50 m 11.7 s K e 10 h 00 m 45.6 s USCGS: H = 09 h 36 m 51 s, 4° S, 81° 1/2 W, bei der Nord-Küste von Peru; stark verspürt in Guayaquil
39	7.	Ne	—	<1/2	3	—	e 10 h 15 m 32.7 s
40	7.	Ne	—	<1/2	3	—	e 11 h 02 m 31.6 s
41	7.	Ne	—	<1/2	1	—	e 14 h 40 m 05.3 s
42	7.	Ch Ba Ne	—	1/2 1 <1/2	7 1 4	—	e 20 h 11 m 22.4 s K e 20 h 13 m 37.4 s e 20 h 11 m 39.7 s e 20 h 11 m 47.3 s USCGS: H = 20 h 08 m 17 s, 38° N, 21° E. Bei der Westküste von Griechenland
43	7.	Ne	—	<1/2	4	—	e 20 h 14 m 04.9 s
44	8.	Ne Ba Ch	2800	4 9 1,5	15-45 8-12 >15	—	iP 01 h 07 m 38.2 s e 01 h 08 m 09 s e 01 h 08 m 23 s eS 01 h 11 m 54 s eP 01 h 07 m 41.5 s e 01 h 16 m 28 s eP 01 h 07 m 55.5 s e 01 h 16 m USCGS: H = 01 h 02 m 24 s, 48° 1/4 N, 28° 1/2 W. Im Nord-Atlantik
45	9.	Ba Ne	—	1 <1/2	1 4	—	e 04 h 55 m 00.3 s e 04 h 55 m 03.5 s USCGS: H = 04 h 42 m 33 s, 50° 1/2 N, 177° 1/2 W. Andeanow-Inseln, Aläuten
46	10.	Ch Ba Ne	36 151 179	2,5 4 1	1 1 2	—	iP 07 h 20 m 01.3 s eS 07 h 20 m 06.0 s iS 07 h 20 m 06.1 s eP 07 h 20 m 18.1 s iS 07 h 20 m 36 s iP 07 h 21 m 25.8 s i 07 h 21 m 43 s iS 07 h 21 m 47 s Nach Zürich: H = 07 h 19 m 53 s, 47° 2 N, 9° 2 E. Toggenburg, Schweiz Wurde in Alt St. Johann und in Unterterzen verspürt
47	10.	Ch	—	1/2	4-5	—	e 07 h 51 m 00.9 s e 07 h 52 m 04 s BCIS: H = 07 h 49.7 m, 42° 1/2 N, 13° 1/2 E. Grand Sasso, Italien
48	12.	Ne	—	<1/2	1	—	e 00 h 53 m 06.7 s e 00 h 53 m 09 s
49	14.	Ch Ba Ne	—	1,1 1 <1/2	3 3 5-7	—	e 22 h 36 m 53.0 s K e 22 h 36 m 59.4 s e 22 h 37 m 02.8 s ML USCGS: H = 22 h 25 m 50 s, 28° N, 97° E. Ost-Pakistan
50	15.	Ch Ne Ba	—	<1/2 <1/2 1	1 5-7 3	—	e 04 h 11 m 25.2 s D e 04 h 11 m 31.8 s e 04 h 11 m 33.7 s USCGS: H = 04 h 02 m 22 s, 44° 1/2 N, 83° 1/2 E, Provinz Sinkiang, China
51	15.	Ba Ne	—	— 3	— 15-45	—	L 04 h 59 m e 05 h 00 m 22.0 s
52	16.	Ne Ba	—	<1/2 1	5-7 3	—	e 00 h 52 m 33.8 s e 00 h 52 m 41.1 s USCGS: H = 00 h 39 m 32 s, 1° S, 81° 1/2 W, bei der Küste von Ecuador
53	17.	Ch Ba Ne	—	1/2 1 <1/2	1 1/2 2 4	—	e 01 h 56 m 09 s e 01 h 56 m 36 s e 01 h 57 m 07.4 s e 01 h 57 m 27.8 s BCIS: H = 01 h 54 m 15 s, 48° 4 N, 15° 6 E. Krems a. d. Donau, Österreich
54	17.	Ba Ne Ch	9100	3 3 3,3	5-7 15-45 4	—	e 12 h 15 m 26.2 s K e 12 h 16 m 26 s eP 12 h 15 m 29.3 s eS 12 h 25 m 48 s e 12 h 15 m 30.1 s USCGS: H = 12 h 03 m 05 s, 51° 1/2 N, 171° W. Fuchs-Inseln, Aläuten

Nr.	Datum	Station	Epizentral-entfernung nach S-P	Max. Doppel-Amplit.	Ungef. Dauer der Reg.	Tab. I Nr.	Phasen, Bemerkungen
			km	mm	min		
55	1959 Febr. 19.	Ne	—	<1/2	1	—	e 14 h 39 m 37.7 s
56	20.	Ba Ne	—	1 <1/2	1 2	—	e 10 h 50 m 20.6 s e 10 h 50 m 22.8 s BCIS: H = 10 h 43 m 31 s, 32° 5 N, 48° 3/4 E. West-Iran
57	20.	Ba Ne	—	1 <1/2	1 5-7	—	e 18 h 28 m 43.6 s e 18 h 28 m 44.6 s USCGS: H = 18 h 16 m 22 s, 15° 1/2 N, 91° W, h etwa 150 km. Guatemala, verspürt
58	23.	Ba Ch Ne	—	1 1 2	1 1 3	—	e 10 h 42 m 58.8 s e 10 h 43 m 00.8 s D e 10 h 43 m 03.2 s ML USCGS: H = 10 h 31 m 14 s, 52° 1/2 N, 159° E. Kamtschatka
59	23.	Ba	—	1	1	—	e 12 h 44 m 39.6 s
60	23.	Ba Ch Ne	—	1 1,4 1	1 2 5-7	—	e 16 h 16 m 54.8 s e 16 h 16 m 55.9 s D e 16 h 16 m 57.7 s K schwach e 16 h 17 m 01.7 s ML USCGS: H = 16 h 04 m 48 s, 50° N, 157° E. Kurilen-Inseln
61	25.	Ne Ba	—	1 1	1 1	—	e 15 h 12 m 53.8 s e 15 h 12 m 58 s e 15 h 13 m 02.8 s
62	27.	Ne	—	<1/2	1	—	e 14 h 41 m 24.8 s
63	27.	Ch Ba	—	— 1	— 8-12	—	e 21 h 09 m 23 s e 21 h 09 m 26.9 s e 21 h 13 m 27 s USCGS: H = 20 h 56 m 30 s, 27° 1/2 N, 129° E. Riou-Kiou-Inseln
64	28.	Ne	—	<1/2	2	—	e 01 h 44 m 39.2 s USCGS: H = 01 h 32 m, 22 s, 53° N, 168° W. Fuchs-Inseln, Aläuten
65	März 1.	Ba Ne Ch	—	2 1 0.6	5 8-12 5	—	e 00 h 37 m 06.8 s e 00 h 37 m 12.3 s e 00 h 37 m 14.0 s K USCGS: H = 00 h 31 m 20 s, 74° 1/2 N, 9° E. Arktischer Ozean
66	1.	Ch Ba Ne	—	1,7 9 3	>60 15-45 60-120	—	e 17 h 07 m 51 s K e 17 h 08 m 46.2 s e 17 h 46 m e 17 h 08 m 54.3 s e 17 h 47 m 32 s mikroseism. Unruhe
67	2.	Ba Ne	—	2 1	5 4	—	e 11 h 29 m 25.5 s e 11 h 29 m 29.8 s USCGS: H = 11 h 22 m 34 s, 33° 1/2 N, 50° E. West-Iran
68	2.	Ba	—	2	2	—	e 12 h 45 m 55.0 s
69	2.	Ch Ba Ne	—	0,7 2 1	7 5 8-12	—	e 15 h 59 m 42.4 s K e 15 h 59 m 51.9 s e 16 h 02 m 44 s e 15 h 59 m 55.4 s USCGS: H = 15 h 51 m 41 s, 36° 1/2 N, 70° 1/2 E, h etwa 200 km. Hindukusch
70	4.	Ne	—	<1/2	3	—	e 01 h 04 m 55.8 s USCGS: H = 00 h 52 m 49 s, 51° 1/2 N, 159° 1/2 E, auf der Breite der SE-Küste von Kamtschatka
71	5.	Ba Ne	—	3 1	8-12 3	—	e 00 h 26 m 56.1 s D e 00 h 27 m 02.7 s ML USCGS: H = 00 h 15 m 08 s, 54° N, 160° E, an der E-Küste von Kamtschatka
72	7.	Ne Ba	—	1 2	2 5-7	—	e 13 h 48 m 36.3 s e 13 h 48 m 51 s e 13 h 49 m 08.5 s

Nr.	Datum	Station	Epizentral-entfernung nach S-P	Max. Doppel-Amplit.	Ungef. Dauer der Reg.	Tab. I Nr.	Phasen, Bemerkungen
	1959		km	mm	min		
73	8. März	Ne Ba	—	<1/2 1	5-7 5-7	—	e 11 h 22 m 02.9 s e 11 h 22 m 30.2 s USCGS: H = 11 h 17 m 09 s, 40° 1/4 N, 20° E, an der albanischen Küste
74	13.	Ne Ba	—	1 1	8-12 5-7	—	i 00 h 50 m 31.3 s e 00 h 50 m 39.7 s BCIS: H = 00 h 46 m 44 s, 37° 6 N, 23° 8 E. SE-Küste von Griechenland
75	13.	Ba Ch Ne	2200	1 1/2 1	5-7 5 8-12	—	e 19 h 12 m 33.2 s e 19 h 16 m 12 s e 19 h 12 m 17 s ML eP 19 h 12 m 34.3 s eS 19 h 16 m 08 s mikroseism. Unruhe BCIS: H = 19 h 08 m 05 s, 34° 1/4 N, 26° 1/2 E. Im Süden des Ägäischen Meeres
76	14.	Ch Ba	—	1/2 1	2 3	—	e 07 h 16 m 04.8 s K e 07 h 16 m 05.4 s K
77	14.	Ba	—	1	1	—	e 08 h 01 m 33.9 s
78	17.	Ba Ch Ne	9900 9900	5 1,2 3	15-45 60 60-120	—	eP 08 h 38 m 18.0 s eS 08 h 49 m 11 s 09 h 13 m 28 s ML e 08 h 38 m 20 s ML eL etwa 09 h 12 m eP 08 h 38 m 28.7 s eS 08 h 49 m 18 s USCGS: H = 08 h 25 m 22 s, 27° 1/4 N, 130° E. Riou-Kiou-Inseln
79	18.	Ch Ba	—	0,2 1	1 5	—	e 00 h 54 m 25.4 s Spuren e 00 h 54 m 33.9 s USCGS: H = 00 h 41 m 17 s, 27° N, 129° E. Riou-Kiou-Inseln
80	18.	Ba Ne	—	2 1	2 3	—	e 23 h 21 m 45.1 s e 23 h 21 m 46 s i 23 h 22 m 01 s i 23 h 21 m 57.3 s e 32 h 22 m 22 s BCIS: H = 23 h 21 m 21 s, 48° 17' N, 9° 00' E. Schwäbischer Jura
81	19.	Ne Ba	3100	1 2	15-45 15-45	—	e 08 h 32 m 19.4 s iP 08 h 32 m 21 s eS 08 h 36 m 59 s e 08 h 43 m 14 s mikroseism. Unruhe USCGS: H = 08 h 25 m 32 s, 35° N, 36° W, im N des Atlantischen Ozeans
82	20.	Ba Ne	—	1 <1/2	3 2	—	e 01 h 14 m 39.2 s e 01 h 14 m 47.1 s USCGS: H = 01 h 02 m 42 s, 52° N, 159° E, bei der E-Küste von Kamtchatka
83	21.	Ch Ne Ba	—	0,8 <1/2 1	2 8-12 2	—	e 04 h 46 m 08.1 s D e 04 h 46 m 11.7 s e 04 h 46 m 14.4 s K USCGS: H = 04 h 27 m 21 s, 19° S, 178° W, h etwa 550 km. Fidji-Inseln
84	22.	Ne Ba Ch	1080 950	13 70 5	8-12 8-12 7	—	iP 22 h 38 m 24.6 s e 22 h 38 m 28 s eS 22 h 40 m 16 s eP 22 h 38 m 33.6 s K eS 22 h 40 m 12 s e 22 h 38 m 49.6 s i 22 h 38 m 53.4 s D e 22 h 41 m 33 s schwache Spur i 22 h 41 m 43 s USCGS: H = 22 h 36 m 38 s, 46° 1/2 N, 3° 1/2 W, Westküste Frankreich Schwach verspürt in der Bretagne und Vendée
85	24.	Ch Ne Ba	—	2,2 1 5	4 8-12 5-7	—	e 10 h 25 m 08.4 s K e 10 h 25 m 49 s verschwommener Einsatz e 10 h 25 m 23 s e 10 h 26 m 29 s e 10 h 25 m 25.1 ML e 10 h 26 m 39 s BCIS: H = 10 h 24 m 12 s, 43° 7 N, 11° 3 E. Region von Florenz Verspürt in Florenz und Siena
86	26.	Ch Ba Ne	—	0,7 1 <1/2	1/2 4 5-7	—	e 02 h 43 m 20.8 s i 02 h 43 m 22 s D Spuren e 02 h 43 m 21.8 s D e 02 h 43 m 23.7 s USCGS: H = 02 h 24 m 12 s, 7° S, 155° 1/2 E, Salomon-Inseln
87	27.	Ba Ne	—	1 1	2 5-7	—	e 07 h 12 m 24.7 s e 07 h 12 m 28.2 s USCGS: H = 07 h 02 m 07 s, 17° N, 63° W, Guadeloupe-Inseln, Kl. Antillen

Nr.	Datum	Station	Epizentral-entfernung nach S-P	Max. Doppel-Amplit.	Ungef. Dauer der Reg.	Tab. I Nr.	Phasen, Bemerkungen
	1959		km	mm	min		
88	28. März	Ba Ch Ne	—	1 1/2 1	4 2 15-45	—	e 20 h 05 m 52 s e 20 h 05 m 53.7 s D e 20 h 06 m 01.7 s D e 20 h 05 m 55.3 s USCGS: H = 19 h 47 m 07 s, 20° S, 178° 1/2 W, h etwa 600 km. Fidji-Inseln
89	29.	Ba	—	1	3	—	e 19 h 20 m 55.3 s USCGS: H = 19 h 09 m 33 s, 45° 1/2 N, 137° 1/2 E. Sichota Alin
90	29.	Ne	—	1	8-12	—	e 23 h 11 m 01.6 s MLe 23 h 14 m 05 s USCGS: H = 23 h 07 m 16 s, 38° N, 24° 1/2 E. Ostküste Griechenland
91	29.	Ne	—	1	5-7	—	i 23 h 16 m 31.3 s
92	31.	Ch Ba	—	0,3 2	1-2 5-7	—	e 07 h 40 m 32.0 s D e 07 h 40 m 33.9 s D USCGS: H = 07 h 20 m 45 s, 15° S, 173° W. Region der Samoa-Inseln. Verspürt in Apia
93	1. April	Ne Ba Ch	—	2 5 —	15-45 8-12 15	—	e 00 h 40 m 24.4 s e 00 h 44 m 42 s e 00 h 40 m 26.8 s MLe 00 h 42 m 21 s e 00 h 47 m 14 s mikroseism. Unruhe e 00 h 50 m 27 s e 00 h 40 m 36.3 s 00 h 49 m 44 s BCIS: H = 00 h 34 m 18 s, 27° 3/4 N, 21° W. Kanarische Inseln Etwa 300 km SW der Insel Palma verspürt
94	1.	Ch Ba Ne	—	1,2 1 1	1 1/2 5-7	—	i 15 h 08 m 00.0 s D i 15 h 08 m 00.2 s e 15 h 08 m 02.9 s USCGS: H = 14 h 48 m 34 s, 18° 1/2 S, 169° E. Neue Hebriden
95	3.	Ne Ba	—	<1/2 1	3 3	—	e 16 h 28 m 22.5 s e 16 h 28 m 49 s e 16 h 29 m 13.9 s BCIS: H = 16 h 26.8 m, 43° 1/4 N, 4° 1/2 E. Camarque
96	5.	Ne Ch	260 300	>90 >200	15-45 15	4	ePn 10 h 48 m 34.8 s iPg 10 h 48 m 40 s eS 10 h 49 m 12 s e 10 h 49 m 15 s ePn 10 h 48 m 42 s iS 10 h 49 m 25.7 s BCIS: H = 10 h 47 m 54 s, 44° 6 N, 6° 8 E. Westalpen, Frankreich. Schäden in St. Paul-d'Ubaye und Serennes
97	5.	Ne	—	1	4	—	e 11 h 01 m 56.7 s e 11 h 02 m 30 s BCIS: H = 11 h 00.1 m. Nachstoß. Westalpen, Frankreich
98	5.	Ne	—	<1/2	4	—	e 15 h 22 m 55.3 s e 15 h 23 m 28 s BCIS: H = 15 h 22 m 08 s. Nachstoß, Westalpen, Frankreich
99	5.	Ch Ne	—	0,8 <1/2	4 3	—	ePn 18 h 14 m 50.2 s e 18 h 15 m 13.2 s e 18 h 15 m 46 s e 18 h 16 m 39 s e 18 h 17 m 31 s BCIS: H = 18 h 13 m 26 s, 46° N, 17° E. Region Grenze Ungarn—Kroatien
100	5.	Ne	—	1	8-12	—	e 21 h 25 m 19.3 s USCGS: H = 21 h 05 m 54 s, 15° 1/2 S, 167° 1/2 E. Neue Hebriden
101	6.	Ne	—	1	5-7	—	e 14 h 31 m 36.8 s USCGS: H = 14 h 12 m 36 s, 10° S, 120° 1/2 E. Sumba-Inseln
102	8.	Ch Ba	—	0,7 2	1 3	—	e 01 h 43 m 40.9 s K e 01 h 43 m 41.3 s K USCGS: H = 01 h 23 m 26 s, 32° 1/2 S, 179° 1/2 E. Region der Kermadec-Inseln
103	8.	Ch Ba	—	1 1	1 1/2 3	—	e 08 h 21 m 14.5 s K i 08 h 21 m 20.5 s K e 08 h 21 m 19.1 s USCGS: H = 08 h 01 m 36 s, 17° S, 174° 1/2 W, h etwa 100 km. Region der Tonga-Inseln. Verspürt in Apia
104	9.	Ch	—	0,1	1 1/2	—	e 17 h 19 m 27.2 s D Spuren USCGS: H = 17 h 08 m 30 s, 25° N, 95° E. Grenze Indien—Burma

Nr.	Datum	Station	Epizentral- entfernung nach S-P	Max. Doppel- Amplit.	Ungef. Dauer der Reg.	Tab. I Nr.	Phasen, Bemerkungen
	1959		km	mm	min		
105	10. April	Ba Ch	—	2 0,9	1 4	—	e 06 h 07 m 02.7 s D e 06 h 15 m 53 s e 06 h 07 m 26.4 s e 06 h 08 m 02.6 s e 06 h 10 m 15.9 s Spuren USCGS: H = 05 h 47 m 34 s, 25° S, 178° ½ E, h 600 km. Im S der Fidji-Inseln
106	12.	Ba Ne Ch	9100	2 1 0,8	4 5-7 <15	—	eP 10 h 07 m 19.3 s eP 10 h 07 m 22.8 s eP 10 h 07 m 32.4 s D eS 10 h 17 m 50 s USCGS: H = 09 h 54 m 51 s, 17° ½ N, 95° W, h etwa 100 km. Mexico Schäden in Cordoba
107	12.	Ba Ch Ne	—	4 2,3 2	15-45 3-4 4	—	e 21 h 12 m 53.3 s e 21 h 15 m 11 s e 21 h 16 m 50 s e 21 h 13 m 50.5 s e 21 h 13 m 51.0 s USCGS: H = 20 h 54 m 00 s, 15° ½ S, 173° W. Samoa-Inseln Verspürt in Apia
108	14.	Ba Ch	—	3 2,8	3 1	—	e 07 h 32 m 02.2 s K i 07 h 32 m 06.7 s K USCGS: H = 07 h 20 m 28 s, 57° ½ N, 155° W, h = 60 km. Alaska
109	15.	Ch Ba	—	0,3 1	1½ 2	—	e 00 h 27 m 48.2 s K e 00 h 27 m 50.3 s USCGS: H = 00 h 15 m 21 s, 41° ½ N, 143° E, bei der Südküste von Hokkaido
110	16.	Ne Ba	—	<½ 1	3 1	—	e 23 h 36 m 12.2 s e 23 h 36 m 30 s e 23 h 36 m 44.3 s
111	18.	Ch	—	½	>½	—	e 06 h 37 m 00.4 s D USCGS: H = 06 h 18 m 00 s, 4° ½ S, 153° ½ E. Region von New-Irland. Verspürt in Rabaul und Londolovit
112	19.	Ch Ne	—	<½	5-7	—	e 17 h 42 m 04.3 s D e 17 h 44 m 06.7 s D e 17 h 42 m 18.8 s
113	19.	Ne Ch Ba	—	4 1,5 16	8-12 3 5-7	—	e 21 h 28 m 44.7 s e 21 h 28 m 48 s e 21 h 29 m 11 s e 21 h 29 m 20 s e 21 h 29 m 23 s e 21 h 29 m 31.3 s e 21 h 28 m 50.2 s i 21 h 28 m 59.2 s e 21 h 29 m 11 s e 21 h 28 m 52.8 s e 21 h 29 m 11 s e 21 h 29 m 41 s BCIS: H = 21 h 28 m 03 s, 44° 6 N, 6° 8 E. Westalpen Frankreich, Nachstoß vom 5. April 1959
114	21.	Ne	—	<½	2	—	e 15 h 13 m 46.4 s
115	21.	Ch Ne Ba	220 390 285	4,2 1 4	3 4 3	—	eP 21 h 53 m 55.8 s iP 21 h 54 m 02.1 s D iS 21 h 54 m 21.2 s eP 21 h 54 m 33.5 s eS 21 h 55 m 19 s eP 21 h 54 m 36.8 s iS 21 h 55 m 11 s
116	22.	Ba Ne	—	2 1	1 1	—	e 03 h 30 m 00.3 s iP 03 h 30 m 08.8 s iS 03 h 30 m 11.6 s BCIS: H = 03 h 29 m 29 s, 47° 2 N, 8° 6 E, südlich von Zürich
117	22.	Ba Ne	—	3 1	2 5-7	—	e 11 h 07 m 11.3 s i 11 h 07 m 14.2 s USCGS: H = 10 h 55 m 05 s, 54° N, 167° W. Fuchs-Inseln, Aläuten
118	22.	Ne Ba	—	1 1	3 2	—	e 20 h 35 m 12.7 s e 20 h 35 m 45 s e 20 h 35 m 35.8 s K e 20 h 36 m 05 s
119	24.	Ne Ch Ba	—	1 ½ 3	4 2 3	—	e 17 h 49 m 26.1 s e 17 h 50 m 00 s i 17 h 49 m 36.8 s K e 17 h 50 m 17 s e 17 h 49 m 39.4 s i 17 h 50 m 19 s BCIS: H = 17 h 48 m 40 s. Nachstoß vom 5. April 1959
120	24.	Ch Ba Ne	—	— 1 1	— 1 60-120	—	e 18 h 17 m 44.1 s D e 18 h 18 m 04.5 s K e 18 h 18 m 58.8 s e 18 h 18 m 03.9 s e 18 h 27 m 21 s e 18 h 18 m 05.8 s USCGS: H = 17 h 57 m 58 s, 31° S, 178° W, Kermadec-Inseln

Nr.	Datum	Station	Epizentral- entfernung nach S-P	Max. Doppel- Amplit.	Ungef. Dauer der Reg.	Tab. I Nr.	Phasen, Bemerkungen
	1959		km	mm	min		
121	25. April	Ch Ba Ne	— 2200 2300	9,3 5 5	18 1 15-45	—	eP 00 h 30 m 44.1 s D e 00 h 36 m 31 s eP 00 h 31 m 01.8 s D eS 00 h 34 m 36 s eL 00 h 38 m 40 s eP 00 h 31 m 02.6 s eS 00 h 34 m 47 s BCIS: H = 00 h 26 m 41 s, 37° 0 N, 28° 5 E. SW der Türkei. Schäden in der Provinz Mugla
122	25.	Ch Ba Ne	—	1,2 2 1	10 11 8-12	—	e 01 h 09 m 46.0 s e 01 h 10 m 02.6 s e 01 h 14 m 24 s e 01 h 10 m 05.1 s e 01 h 13 m 45 s BCIS: H = 01 h 05 m 42 s. Nachbeben
123	25.	Ch Ba Ne	56 120 167	1½ 3 1	1½ 2 3	6	iP 17 h 47 m 35.6 s D iS 17 h 47 m 42.2 s eP 17 h 47 m 47.7 s iS 17 h 48 m 02.0 s iP 17 h 47 m 54.2 s iS 17 h 48 m 14.0 s Nach Zürich: H = 17 h 47 m 25 s, 47° 2 N, 9° 1 E, leicht verspürt in Bilten GL, Stärke IV
124	26.	Ne	—	<½	3	—	e 06 h 07 m 21.3 s USCGS: H = 05 h 47 m 28 s, 19° ½ S, 169° ½ E. Neue Hebriden
125	26.	Ch Ne	—	>200 47	7-8 8-12	—	i 14 h 46 m 23.3 s i 14 h 46 m 32.7 s e 14 h 46 m 00.2 s K e 14 h 46 m 34 s e 14 h 47 m 12 s e 14 h 47 m 30 s BCIS: H = 14 h 45 m 16 s, 46° 5 N, 13° E. Venetianer Alpen Verspürt Stärke VII
126	26.	Ch Ne	—	13,3 15	>60 60-120	—	i 20 h 53 m 08.7 s K e 21 h 03 m 22 s i 20 h 53 m 15.2 s e 20 h 56 m 45 s e 21 h 03 m 33 s USCGS: H = 20 h 40 m 38 s, 25° N, 122° ½ E, bei der NE-Küste von Formosa
127	28.	Ba Ne	—	1 1	1? 60-120	—	e 11 h 22 m 07.0 s e 11 h 59 m 40 s e 11 h 22 m 08.4 s USCGS: H = 11 h 09 m 30 s, 15° N, 93° W. Grenze Mexico—Guatemala
128	29.	Ch	—	0,2	½	—	e 00 h 31 m 23.8 s D USCGS: H = 00 h 23 m 50 s, 28° N, 55° E. Süd-Iran
129	1. Mai	Ch Ba Ne	—	1,1 1 1	4 5-7 15-45	—	e 08 h 30 m 30.6 s K e 08 h 30 m 41.5 s e 08 h 30 m 46.2 s USCGS: H = 08 h 23 m 57 s, 36° ½ N, 52° E. Nähe Nordküste von Iran
130	2.	Ch Ba Ne	—	3,8 3 1	4 5-7 8-12	—	eP 06 h 37 m 21.9 s e 06 h 38 m 01.2 s e 06 h 38 m 17 s eP 06 h 37 m 36.3 s e 06 h 37 m 58 s eP 06 h 37 m 41.5 s e 06 h 39 m 09 s BCIS: H = 06 h 36.4 m, 46° ¼ N, 14° ½ E. Region der Grenze Österreich—Jugoslawien. Verspürt in Triest mit Stärke II
131	4.	Ba Ch Ne	8200 8200 8250	90 155 85	60-120 105 >120	—	eP 07 h 27 m 34.5 s K eS 07 h 37 m 15 s e 07 h 28 m 10 s eP 07 h 27 m 36 s K eS 07 h 37 m 16 s ML iP 07 h 27 m 38 s e 07 h 30 m 45 s eS 07 h 37 m 23 s USCGS: H = 07 h 15 m 42 s, 25° ½ N, 159° ½ E, h 60 km, Magn. 8 (Pas.) 8 ½ (Ber.). An der Ostküste von Kamtschatka. 1 Toter, 13 Verwundete.
132	4.	Ne	—	<½	3	—	e 10 h 44 m 27.1 s
133	5.	Ba Ch Ne	—	<½ 0,4 1	1 45 60-120	—	eP 19 h 16 m 06.8 s eP 19 h 16 m 10.0 s K eL etwa 19 h 47 m eP 19 h 16 m 12.0 s e 19 h 25 m 48 s USCGS: H = 19 h 04 m 16 s, 53° N, 159° E, Magn. 6 (Pas.), Kamtschatka. Nachstoß
134	8.	Ba Ch Ne	—	8 8,3 6	5-7 4 8-12	—	eP 11 h 46 m 37.7 s K e 11 h 49 m 42 s iP 11 h 46 m 40.0 s iP 11 h 46 m 41.6 s USCGS: H = 11 h 34 m 50 s, 53° ½ N, 160° ½ E, h etwa 60 km. Region Ostküste von Kamtschatka

Nr.	Datum	Station	Epizentral- entfernung nach S-P	Max. Doppel- Amplit.	Ungef. Dauer der Reg.	Tab. I Nr.	Phasen, Bemerkungen
135	1959 Mai 10.	Ch	—	0,2	1	—	e 00 h 09 m 26.0 s Spuren
136	10.	Ba Ne	— <1/2	2 5-7	5-7	—	eP 08 h 40 m 15.3 s e 08 h 41 m 22.3 s BCIS: H = 08 h 39 m 00 s, 49° 8 N, 3° 1 E, im Westen von St. Quentin, Frankreich
137	10.	Ch Ba	— <1/2	— 1	—	—	eP 22 h 16 m 55.0 s e 22 h 17 m 50.7 s e 22 h 18 m 29.8 s BCIS: H = 22 h 16.0 m, 44° N, 11° 1/2 E. Etruskischer Apennin
138	11.	Ba Ne	— <1/2 1	<1/2 5-7	—	—	iP 16 h 40 m 40.8 s iP 16 h 40 m 45.4 s USCGS: H = 16 h 28 m 49 s, 53° 1/2 N, 160° E. Kamtschatka, tiefer als normal
139	12.	Ch Ne Ba	8600 — —	0,8 1 1	60 60-120 60-120	—	eP 05 h 09 m 31.3 s D eS 05 h 19 m 25.8 s eL etwa 05 h 43 m e 05 h 09 m 31.7 s e 05 h 19 m 23 s eP 05 h 09 m 35.5 s eL 05 h 45 m 23 s USCGS: H = 04 h 57 m 35 s, 54° 1/2 N, 168° E, Magn. 6 1/2 (Pas.), 6 1/4—6 1/2 (Ber.). Kommandeur-Inseln
140	12.	Ne Ch Ba	— — —	1 1/2 3	60-120 60 15-45	—	e 09 h 58 m 40.8 s e 10 h 03 m 52 s eP 10 h 00 m 26.9 s e 10 h 11 m 44.6 s eL 10 h 34 m 45 s e 10 h 02 m 06.0 s e 10 h 13 m 56 s eL 10 h 41 m 50 s USCGS: H = 09 h 46 m 51 s, 23° 1/2 S, 64° 1/2 W, Magn. 6 3/4 (Pas.), 6 1/4—6 1/2 (Ber.). Provinz Salta, Argentinien
141	12.	Ne	—	<1/2	5-7	—	eP 21 h 52 m 41.5 s USCGS: H = 21 h 40 m 22 s, 51° 1/2 N, 177° W. Andreanow-Inseln, Aläuten
142	12.	Ba Ne	— —	1 1	15-45 5-7	—	eP 22 h 12 m 15 s eL 22 h 57 m 54 s eP 22 h 12 m 19.3 s USCGS: H = 21 h 59 m 56 s, 51° 1/2 N, 177° W, Magn. 6 (Pas.). Andreanow-Inseln, Aläuten
143	14.	Ne Ba	— —	1 1	8-12 3	—	e 00 h 59 m 40.3 s e 00 h 03 m 38 s e 01 h 03 m 38.2 s BCIS: H = 00 h 55 m 55 s, 40° N, 23° E, im Norden des Ägäischen Meeres
144	14.	Ch Ba	— —	0,4 <1/2	— 1	—	eP 06 h 30 m 53.6 s K eP 06 h 31 m 08.7 s USCGS: H = 06 h 27 m 02 s, 35° 1/2 N, 24° 1/2 E. Insel Kreta, Vorstoß
145	14.	Ch Ba Ne	— 2070 2050	58,7 30 11	<30 7 15-45	—	eP 06 h 40 m 46.6 s D eP 06 h 41 m 02.2 s D eS 06 h 44 m 28 s eL 06 h 49 m 32 s iP 06 h 41 m 03.6 s eS 06 h 44 m 26 s USCGS: H = 06 h 36 m 57 s, 35° 1/2 N, 24° 1/2 E. Magn. 6 1/2 (Pas.), Insel Kreta
146	14.	Ba Ne	— —	<1/2 <1/2	1 5-7	—	eP 09 h 53 m 10.2 s eP 09 h 53 m 12.5 s USCGS: H = 09 h 33 m 22 s, 19° S, 170° E. Neue Hebriden
147	14.	Ne	—	<1/2	4	—	e 11 h 01 m 40.1 s USCGS: H = 10 h 41 m 56 s, 19° S, 170° E, h = 100 km. Neue Hebriden
148	14.	Ne	—	<1/2	4	—	e 11 h 30 m 36.7 s
149	14.	Ne	—	<1/2	4	—	e 12 h 09 m 02.8 s USCGS: H = 11 h 49 m 20 s, 19° S, 170° E, h = 100 km. Neue Hebriden, Nachstoß
150	14.	Ch Ba Ne	— — —	0,8 2 1	<10 8-12 15-45	—	eP 19 h 25 m 24.0 s D e 19 h 28 m 13.7 s eP 19 h 26 m 20.2 s e 19 h 29 m 17 s e 19 h 27 m 36.8 s e 19 h 30 m 16 s USCGS: H = 19 h 22 m 18 s, 40° N, 24° 1/2 E. Ägäisches Meer

Nr.	Datum	Station	Epizentral- entfernung nach S-P	Max. Doppel- Amplit.	Ungef. Dauer der Reg.	Tab. I Nr.	Phasen, Bemerkungen
151	1959 Mai 14.	Ba Ne	— —	1 <1/2	<1/2 1	—	e 21 h 01 m 01.2 s e 21 h 01 m 12 s e 21 h 01 m 33.6 s e 21 h 01 m 39 s
152	16.	Ne Ba	— 147	<1/2 1	2 3	—	e 02 h 14 m 54.3 s e 02 h 15 m 24 s eP 02 h 15 m 08.7 s eS 02 h 15 m 26 s Nach Zürich: H = 02 h 14 m 42.3 s
153	16.	Ne Ba	— 60	<1/2 1	2 3	—	iP 05 h 00 m 51.3 s iS 05 h 00 m 58.3 s eP 05 h 00 m 58.8 s Nach Zürich: H = 05 h 00 m 40.6 s
154	16.	Ch Ne	— 15000	0,4 <1/2	8 15-45	—	ePKP 06 h 35 m 26.9 s ePKP 06 h 35 m 29 s ePP 06 h 38 m 09 s USCGS: H = 06 h 16 m 23 s, 4° 1/2 S, 153° 1/2 E, h etwa 60 km, Magn. 6 3/4 (Pas.), Neu-Britannien
155	16.	Ne	—	<1/2	3	—	e 08 h 22 m 27.7 s
156	17.	Ne	—	<1/2	3	—	e 19 h 27 m 38.3 s USCGS: H = 19 h 15 m 42 s, 54° N, 159° 1/2 E. Region der Ostküste von Kamtschatka
157	20.	Ne Ch Ba	305 377 380	2 1,1 5	5-7 2 5	—	eP 14 h 41 m 31.2 s e 14 h 41 m 35 s eS 14 h 42 m 07 s eP 14 h 41 m 39.2 s D iP 14 h 41 m 45.5 s K eS 14 h 42 m 23.7 s Spuren eP 14 h 41 m 47.2 s eS 14 h 42 m 32 s BCIS: H = 14 h 40 m 50 s, Nachstoß von Nr. 95 (5. April). Westalpen, Frankreich
158	20.	Ne Ba	— —	<1/2 <1/2	5-7 1	—	e 16 h 41 m 02.8 s eP 16 h 41 m 04.0 s USCGS: H = 16 h 36 m 51 s, 37° N, 26° 1/2 E. Ägäisches Meer
159	20.	Ba Ch Ne	— — —	1 0,2 <1/2	5-7 1 1/2 5-7	—	eP 19 h 47 m 18.2 s eP 19 h 47 m 28.5 s eP 19 h 47 m 31.3 s BCIS: H = 19 h 35 m 03 s, 44° 1/2 N, 149° E, Kurilen-Inseln
160	20.	Ch Ba Ne	2600 2950 2800	1 1 1	12 8-12 15-45	—	iP 19 h 54 m 27.4 s D eS 19 h 58 m 38.2 s eP 19 h 54 m 39.2 s eS 19 h 59 m 10 s eP 19 h 54 m 42.2 s eS 19 h 59 m 09 s USCGS: H = 19 h 49 m 12 s, 41° 1/2 N, 42° E. Georgien, Kaukasus, UdSSR
161	22.	Ne Ba	84 —	1 <1/2	2 1	—	eP 18 h 26 m 03.2 s eS 18 h 26 m 13 s eP 18 h 26 m 29.1 s Nach Zürich: H = 18 h 25 m 48 s
162	24.	Ne	—	1	15-45	—	e 13 h 22 m 31.2 s BCIS: H = 13 h 19 m 32 s, 36° 3 N, 4° 8 E. Algerien Verspürt in Guenzet (VII), Bordj-R'Dir (III-IV)
163	24.	Ne Ba Ch	9000 9500 9300	10 11 5,3	60-120 15-45 <60	—	eP 19 h 30 m 17.5 s eS 19 h 40 m 32 s eP 19 h 30 m 19.0 s eS 19 h 40 m 57 s eL 19 h 59 m 38 s eP 19 h 30 m 26.6 s D e 19 h 33 m 53.4 s K eS 19 h 40 m 53.3 s e 19 h 41 m 09.6 s eL etwa 20 h 02 m 30 s USCGS: H = 19 h 17 m 40 s, 17° 1/2 N, 97° W, h = 100 km, Magn. 6 3/4—7 (Pas.), 6 3/4 (Ber.). Oaxaca, Mexiko. 5 Tote, 10 Verletzte
164	26.	Ch Ba Ne	— — —	5,1 10 1	6 5-7 15-45	—	iP 04 h 25 m 41.2 s D e 04 h 29 m 06.8 s eP 04 h 25 m 43.3 s D eP 04 h 25 m 46.4 s USCGS: H = 04 h 13 m 01 s, 27° 1/2 N, 126° 1/2 E, Magn. 6 1/2—6 3/4 (Pas.), Riou-Kiou-Inseln
165	26.	Ch Ba Ne	— — —	0,2 1 <1/2	2 1/2 5-7 8-12	—	eP 06 h 44 m 15.4 s Spuren eP 06 h 44 m 28.5 s eP 06 h 44 m 29 s USCGS: H = 06 h 36 m 00 s, 37° 1/2 N, 70° E. Im Norden von Afghanistan

Nr.	Datum	Station	Epizentral- entfernung nach S-P	Max. Doppel- Amplit.	Ungef. Dauer der Reg.	Tab. I Nr.	Phasen, Bemerkungen
	1959 Juni		km	mm	min		
166	27.	Ch Ba Ne	—	7 7 3	10 8-12 15-45	—	eP 20 h 40 m 26.5 s D e 20 h 42 m 49 s eP 20 h 40 m 42.9 s eP 20 h 40 m 45.3 s e 20 h 43 m 55 s BCIS: H = 20 h 38 m 28 s, 45° ¼ N, 20° ¼ E. Region der Grenze Jugoslawien—Rumänien, westlich von Timisoara
167	29.	Ch Ne Ba	—	— 2 3	— 8-12 5-7	—	eP 11 h 02 m 24.6 s D i 11 h 02 m 26.2 s K eP 11 h 02 m 26.3 s eP 11 h 02 m 26.7 s USCGS: H = 10 h 42 m 48 s, 19° S, 169° ½ E, h = 100 km, Magn. 6 ¼ (Pas.). Neue Hebriden
168	29.	Ne Ba	—	<1/2 <1/2	3 <1/2	—	eP 18 h 41 m 37.7 s eP 18 h 41 m 47.2 s USCGS: H = 18 h 29 m 27 s, 50° ½ N, 157° ½ E. Südküste von Kamtschatka
169	31.	Ne	—	1	8-12	—	eP 12 h 19 m 12.2 s e 12 h 23 m 13 s USCGS: H = 12 h 15 m 51 s, 46° ½ N, 27° E. Südwestlich von Tecuci, Rumänien
170	Juni 1.	Ba Ba	—	—	—	—	e 11 h 40 m 45 s } Knalleffekt von Flugzeug durch Überschreiten e 11 h 40 m 52 s } der Schallgeschwindigkeit
171	2.	Ne Ba	—	1	15-45	—	e 05 h 46 m 03.0 s e 05 h 49 m 09 s
172	3.	Ne	—	1	8-12	—	eP 05 h 55 m 44.2 s USCGS: H = 05 h 43 m 28 s, 52° ½ N, 170° W, Fuchs-Inseln. Aläuten
173	4.	Ne	—	<1/2	1	—	e 10 h 47 m 04.2 s
174	5.	Ne Ba	37 38	1 1	1 1	—	eP 15 h 13 m 34.5 s eS 15 h 13 m 39 s eP 15 h 13 m 37.4 s eS 15 h 13 m 42 s Nach Zürich: H = 15 h 13 m 29 s, 47° 16' N, 7° 16' E, zwischen Ecorcheresses und Souboz
175	6.	Ch Ba Ne	55 125 150	11.7 3 1	<2 2 2	7	iPg 01 h 22 m 34.0 s D iSg 01 h 22 m 40.5 s e 01 h 22 m 40.1 s iPg 01 h 22 m 46.2 s eSg 01 h 23 m 01 s iPg 01 h 22 m 49.2 s iSg 01 h 23 m 06.8 s Nach Zürich: H = 01 h 22 m 23 s, 46° 52' N, 8° 53' E, Piz Cazarauls, Tödimassiv
176	7.	Ne Ba	5700 5800	<1/2 <1/2	5-7 2	—	ePn 13 h 48 m 46.7 s ePn 13 h 48 m 53.5 s e 13 h 49 m 20 s USCGS: H = 13 h 39 m 38 s, ½° N, 18° W, Magn. 5 ¼, Atlantischer Ozean
177	10.	Ba Ne	2000 1800	3 2	8-12 15-45	—	eP 04 h 19 m 58.0 s eS 04 h 23 m 18 s eP 04 h 20 m 01.8 s eS 04 h 23 m 04 s USCGS: H = 04 h 16 m 03 s, 36° N, 23° E. Insel Kreta
178	12.	Ba	—	2	3	—	e 15 h 01 m 32.8 s
179	13.	Ba Ne	2400 2400	<1/2 <1/2	2 5-7	—	ePn 12 h 06 m 50.5 s ePn 12 h 06 m 54.5 s USCGS: H = 12 h 02 m 00s, 36° N, 32° E. Region der Südküste der Türkei
180	13.	Ch Ba Ne	264 405 500	95 47 12	<10 8-12 8-12	—	eP 21 h 57 m 21.6 s D iS 21 h 57 m 52.7 s eP 21 h 57 m 41.1 s eS 21 h 58 m 28 s iP 21 h 57 m 45.2 s eS 21 h 58 m 47 s e 21 h 57 m 57 s e 21 h 58 m 30 s USCGS: H = 21 h 56 m 40 s, 46° ½ N, 13° E. Grenze Österreich—Italien. Verspürt in Norditalien
181	13.	Ch	235	—	—	—	eP 23 h 33 m 11.1 s eS 23 h 33 m 38.9 s BCIS: H = 23 h 32 m 24 s, Nachstoß von Nr. 179, Venetianer Alpen
182	13.	Ba	218	<1/2	1	—	eP 23 h 33 m 53.3 s eS 23 h 34 m 19 s Nach Zürich: H = 23 h 33 m 14.1 s

Nr.	Datum	Station	Epizentral- entfernung nach S-P	Max. Doppel- Amplit.	Ungef. Dauer der Reg.	Tab. I Nr.	Phasen, Bemerkungen
	1959		km	mm	min		
183	Juni 14.	Ne Ch Ba	— 11500 11400	14 4 16	60-120 >60 15-45	—	ePKP? 00 h 25 m 18.2 s e 00 h 29 m 10 s ePPS? 00 h 35 m 47 s ePKP 00 h 25 m 28.1 s ePPS 00 h 35 m 53 s ePKP 00 h 25 m 32.1 s ePPS 00 h 35 m 55 s eL 00 h 48 m 00s USCGS: H = 00 h 11 m 57 s, 20° ½ S, 68° W, Magn. 7 ¼—7 ½ (Pas.), 7 (Berk.), SW von Bolivien. 1 Toter, kleiner Schaden in Nordchile
184	14.	Ch Ba	240 330	— <1/2	— 1	—	ePg 01 h 00 m 54.9 s D eSg 01 h 01 m 23.5 s ePg 01 h 01 m 17.3 s eSg 01 h 01 m 56 s BCIS: H = 01 h 00.2 m. Nachstoß von Nr. 179, Venetianer Alpen
185	16.	Ba Ne	— —	<1/2 <1/2	1 5	—	e 00 h 35 m 21.0 s e 00 h 39 m 17.8 s USCGS: H = 00 h 32 m 17 s, 42° ½ N, 24° E, Bulgarien
186	16.	Ch Ba Ne	810 — —	2 2 1	8-12 8-12 6-8	—	ePn 03 h 30 m 31.4 s ePS 03 h 31 m 46.7 s ePn 03 h 30 m 51 s e 03 h 32 m 49 s e 03 h 33 m 25 s ePn 03 h 30 m 54.4 s e 03 h 33 m 38 s USCGS: H = 03 h 28 m 45 s, 44° N, 19° E, Jugoslawien
187	17.	Ch Ne Ba	900 — 950	1.2 0.9 2	5 8 5-7	—	eP 12 h 34 m 11.8 s eS 12 h 35 m 45.4 s eP 12 h 34 m 32.7 s e 12 h 37 m 25.2 s eP 12 h 35 m 14.3 s eS 12 h 36 m 53 s BCIS: H = 12 h 32 m 02 s, 42° ¼ N, 20° E, Grenze Albanien—Jugoslawien
188	18.	Ba Ne Ch	8700 8700 —	8 4.8 7	15-45 90 75	—	eP 15 h 43 m 10.5 s eS 15 h 53 m 11 s eL 16 h 05 m 52 s eP 15 h 43 m 17.8 s eS 15 h 53 m 19.8 s eP 15 h 43 m 19.1 s eS 15 h 53 m 04 s eL etwa 16 h 11 m USCGS: H = 15 h 31 m 25 s, 54° N, 160° E, Magn. 6 ¼—6 ½ (Ber.). Region Ostküste von Kamtschatka
189	18.	Ba Ne	8600 8600	<1/2 1/2	1 4	—	ePn 16 h 10 m 35.6 s ePn 16 h 10 m 33.7 s USCGS: H = 15 h 58 m 38 s, 54° N, 161° E, Magn. 6 ½—6 ¾ (Pas.). Region Ostküste von Kamtschatka
190	23.	Ne	35	0.2	<1/2	—	iPg 09 h 58 m 40.5 s iSg 09 h 58 m 44.6 s Nach Zürich: H = 09 h 58 m 34.3 s
191	25.	Ne Ba	2800 2700	0.8 2	20 15-45	—	ePn 06 h 52 m 13.3 s eSn 06 h 56 m 44.3 s ePn 06 h 52 m 14.6 s eS 06 h 57 m 47 s eL 07 h 01 m 21 s USCGS: H = 06 h 46 m 55 s, 62° N, 27° ½ W. Im Süden von Island
192	27.	Ch	—	—	—	—	e 10 h 13 m 30 s Kammersprengung in Eschenlohe
193	27.	Ch Ba	— —	1 2	<30 15-45	—	eP 19 h 20 m 14.8 s D e 19 h 24 m 22.8 s K e 19 h 25 m 18.0 s D evtl. P-Einsätze verschiedener Beben eP 19 h 20 m 27.7 s e 19 h 25 m 21 s USCGS: H = 19 h 11 m 23 s, 42° N, 80° E. An der Grenze China-Rußland
194	28.	Ne	—	<1/2	12	—	ePKP 20 h 02 m 06.0 s Zeitmarkendefekt, möglicher Fehler = ± 30 s USCGS: H = 19 h 43 m 22 s, 9° ½ S, 122° ½ E. Sawoe-Meer
195	30.	Ne Ba	120 —	0.3 <1/2	1 1	—	ePg 17 h 43 m 03.2 s e(Sg) 17 h 43 m 15.1 s e 17 h 43 m 35.3 s
196	Juli 1.	Ne	112	0.3	1	—	ePg 11 h 20 m 23.7 s eSg 11 h 20 m 36.9 s Nach Zürich: H = 11 h 20 m 03.6 s

Nr.	Datum	Station	Epizentral-entfernung nach S-P	Max. Doppel-Amplit.	Ungef. Dauer der Reg.	Tab. I Nr.	Phasen, Bemerkungen
197	1959 Juli 2.	Ch	180 km	0,6 mm	1 min	—	ePb 03 h 35 m 17.4 s iPg 03 h 35 m 19.1 s eSg 03 h 35 m 40.5 s Nach Zürich: H = 03 h 34 m 47 s
198	3.	Ch Ba Ne	35 198 222 km	— 7 2,3 mm	— 2 3 min	9 — —	iPg 04 h 58 m 40.6 s D iSg 04 h 58 m 44.6 s iPg 04 h 59 m 10.6 s iSg 04 h 59 m 34 s iPg 04 h 59 m 14.2 s eSg 04 h 59 m 40.4 s Nach Zürich: H = 04 h 58 m 34.3 s, 46° 36' N, 09° 47' E. Piz Muot (Albulapaß) Verspürt (—V) in verschiedenen Gemeinden des Bündnerlandes
199	3.	Ch Ba Ne	— — 16600 km	5 5 2,5 mm	10 60-120 60 min	— — —	ePKP 18 h 14 m 54.1 s D e 18 h 15 m 38.9 s ePKP 18 h 14 m 55.1 s eL 19 h 12 m 03 s ePKP 18 h 14 m 56.4 s e 18 h 15 m 38.3 s ePP 18 h 18 m 52.3 s USCGS: H = 17 h 55 m 10 s, 16° S, 172° ½ E, h etwa 200 km, Magn. 6 ¼ — 6 ½ (Pas.), 6 ¼ (Ber.). Inselregion der Neuen Hebriden
200	4.	Ba Ne	450 395 km	1 <1/2 mm	2 4 min	— —	ePg 15 h 26 m 13.0 s eSg 15 h 27 m 10 s ePg 15 h 26 m 27.8 s eSg 15 h 27 m 14.2 s BCIS: H = 15 h 24 m 34 s, 51° 25' N, 3° 15.5' E. Belgische Küste Zerstörung einer Schiffsmole in 10 Meter Tiefe
201	6.	Ne Ba Ch	— — 10900 km	2 6 0,6 mm	15-15 15-45 — min	— — —	iPn 09 h 22 m 47.8 s e 09 h 32 m 25 s ePn 09 h 22 m 50.8 s e 09 h 25 m 07 s e 09 h 32 m 29 s ePn 09 h 22 m 54.4 s D e 09 h 25 m 10 s e 09 h 32 m 30 s USCGS: H = 09 h 10 m 17 s, 26° ½ S, 61° W, h = 600 km, Magn. 6 — 6 ¼ (Pas.), 6 ¼ — 6 ½ (Ber.). Provinz Gran Chaco, Argentinien
202	6.	Ne Ba	— — km	3 15 mm	15-5 15-45 min	— —	ePn 09 h 35 m 58.8 s e 09 h 45 m 36 s ePn 09 h 36 m 01.3 s e 09 h 40 m 04 s e 09 h 45 m 38 s Nach Straßburg: H = 09 h 23 m 27 s, Magn. 6 ¾ — 7 (Pas.). Nachstoß in der Provinz Gran Chaco
203	6.	Ch	— km	3,3 mm	8 min	—	eP 09 h 45 m 37.5 s
204	9.	Ne Ch Ba	— — 10000 km	2 0,4 <1/2 mm	15-45 7 10 min	— — —	ePn 16 h 18 m 35.5 s e 16 h 29 m 05 s ePn 16 h 18 m 44.9 s e 16 h 22 m 30.9 s ePn 16 h 19 m 09.4 s e 16 h 29 m 09 s eSn 16 h 30 m 06 s USCGS: H = 16 h 05 m 18 s, 20° ½ S, 68° W, h = 100 km, Magn. 6 ¾ (Pas.). An der Grenze Chile—Bolivien
205	11.	Ba	— km	<1/2 mm	1 min	—	ePn 18 h 35 m 24.0 s USCGS: H = 18 h 23 m 00 s, 44° ½ N, 148° ½ E, Kurilen-Inseln
206	12.	Ne Ch	— — km	<1/2 0,4 mm	5-7 3 min	— —	eP 00 h 43 m 30.3 s eP 00 h 43 m 36.7 s D USCGS: H = 00 h 24 m 22 s, 19° ½ S, 177° ½ W, h = 400 km, Magn. 6 ¼ (Pas.). Region der Fidji-Inseln
207	12.	Ba	460 km	4 mm	2 min	—	eP 13 h 16 m 36.9 s eS 13 h 17 m 34 s
208	12.	Ba	450 km	2 mm	2 min	—	eP 13 h 18 m 04.4 s eS 13 h 18 m 56 s
209	12.	Ba	470 km	1 mm	1 min	—	eP 13 h 28 m 40.4 s eS 13 h 29 m 40 s
210	12.	Ba	470 km	1 mm	2 min	—	eP 13 h 30 m 09.9 s eS 13 h 31 m 09 s
211	12.	Ba	420 km	1 mm	4 min	—	eP 13 h 36 m 32.9 s eS 13 h 37 m 26 s

Nr.	Datum	Station	Epizentral-entfernung nach S-P	Max. Doppel-Amplit.	Ungef. Dauer der Reg.	Tab. I Nr.	Phasen, Bemerkungen
212	1959 Juli 12.	Ba	480 km	<1/2 mm	2 min	—	eP 13 h 37 m 49.4 s eS 13 h 38 m 50 s
213	13.	Ba Ne	— 8700 km	2 1 mm	3 60-120 min	— —	eP 12 h 41 m 01.7 s e 12 h 41 m 53 s eP 12 h 41 m 05.3 s eS 12 h 51 m 14 s USCGS: H = 12 h 28 m 45 s, 52° N, 172° ½ W, Magn. 6 ½ (Pas.), 5 ¾ — 6 (Ber.). Andreanow-Inseln, Aläuten
214	13.	Ch	— km	1 mm	2 min	—	ePn 13 h 17 m 22.8 s e 13 h 17 m 26.8 s ePg 13 h 17 m 28.5 s D eSg 13 h 18 m 02.8 s
215	14.	Ne	— km	1 mm	8-12 min	—	ePKP 13 h 20 m 03.8 s USCGS: H = 13 h 00 m 24 s, 16° ½ S, 173° E, h = 100 km. Neue Hebriden.
216	14.	Ba	202 km	1 mm	2 min	—	ePg 13 h 29 m 12 s eSg 13 h 29 m 36 s Nach Zürich: H = 13 h 28 m 35.7 s
217	15.	Ba	— km	<1/2 mm	1 min	—	e 23 h 27 m 56.7 s BCIS: H = 23 h 26 m 12 s, 46° 5 N, 12° 7 E. Im NE von Italien
218	16.	Ne	— km	<1/2 mm	8-12 min	—	e 15 h 29 m 53.8 s USCGS: H = 15 h 17 m 27 s, 50° ½ N, 177° W. Region der Andreanow-Inseln, Aläuten
219	16.	Ne	17000 km	<1/2 mm	5-7 min	—	ePKP 19 h 33 m 48.2 s USCGS: H = 19 h 13 m 52 s, 21° ½ S, 169° W. Loyalty-Inseln
220	17.	Ne Ba	270 365 km	2 6 mm	8-12 5-7 min	— —	ePb 13 h 17 m 13.8 s eSg 13 h 17 m 50 s i 13 h 17 m 53 s i 13 h 17 m 54.5 s ePg 13 h 17 m 26.0 s eSg 13 h 18 m 09 s e 13 h 17 m 29 s BCIS: H = 13 h 16 m 36 s, 44° 6 N, 6° 8 E. Französische Hochalpen. Verspürt in Ubaye
221	18.	Ba Ne	10000 10383 km	10 3 mm	15-45 15-45 min	— —	ePn 20 h 07 m 58.3 s e 20 h 18 m 22 s eSn 20 h 18 m 53 s ePn 20 h 08 m 04.0 s e 20 h 18 m 22 s USCGS: H = 19 h 54 m 45 s, 15° ½ N, 120° ½ E, Magn. 6 ½ — 6 ¾ (Pas.). Luzon, Philippinen. Verspürt
222	19.	Ba Ne Ch	10400 — 10900 km	13 7 1,8 mm	15-45 60-120 45 min	— — —	ePn 15 h 18 m 54.6 s eSKS 15 h 29 m 24 s eL 15 h 41 m 36 s e*Pn 15 h 19 m 04.0 s eSKS 15 h 29 m 19 s Pn 15 h 19 m 13 s ML e 15 h 20 m 06.6 s ePP 15 h 23 m 06 s eSKS 15 h 29 m 26.9 s eL 16 h 05 m
223	20.	Ba	10700 km	1 mm	5-7 min	—	Interpretation der Phasen unsicher; evtl. Überlagerung zweier Beben. USCGS: H = 15 h 06 m 10 s, 15° S, 70° ½ W, h = 200 km, Magn. 7 (Pas.). Peru
224	21.	Ba	15500 km	<1/2 mm	2 min	—	e*PKP 08 h 02 m 47.8 s USCGS: H = 07 h 43 m 13 s, 14° ½ N, 167° ½ E, Magn. 6 ¼ (Pas.). Neue Hebriden
225	22.	Ba	7300 km	6 mm	8-12 min	—	iPn 19 h 34 m 59.6 s eSn 19 h 43 m 50 s USCGS: H = 19 h 24 m 17 s, 53° N, 153° E, h = 650 km. Ochotskisches Meer
226	24.	Ne Ba	114 135 km	1 3 mm	1 1 min	11 —	iPg 22 h 23 m 17.8 s iSg 22 h 23 m 31.3 s ePg 22 h 23 m 25.0 s iSg 22 h 23 m 41 s Nach Zürich: H = 22 h 22 m 59 s

e* = Vermutlich nicht Beginn der betreffenden Phase

Nr.	Datum	Station	Epizentral- entfernung nach S-P	Max. Doppel- Amplit.	Ungef. Dauer der Reg.	Tab. I Nr.	Phasen, Bemerkungen
	1959		km	mm	min		
227	25. Juli	Ne Ba	— 144	1 1	1 1	—	iPg 16 h 23 m 23.0 s ePg 16 h 23 m 30.4 s eSg 16 h 23 m 40 s Nach Zürich: H = 16 h 23 m 04.7 s
228	26.	Ne Ba	3200 3600	1 2	8-12 5-7	—	ePn 17 h 10 m 50.3 s eSn 17 h 15 m 35 s ePn 17 h 10 m 50.6 s eSn 17 h 16 m 02 s USCGS: H = 17 h 07 m 03 s, 41° N, 27° ½ E. Im NW der Türkei
229	29.	Ba	—	2	4	—	e 07 h 53 m 21.5 s
230	31.	Ba	—	<1/2	1	—	e 20 h 01 m 27.6 s
231	2. Aug.	Ne	23	1	<1/2	—	iPg 09 h 18 m 53.2 s iSg 09 h 18 m 56 s Nach Zürich: H = 09 h 18 m 49 s
232	6.	Ch Ba	— —	1/4 1	2 2	—	ePn 16 h 11 m 55.1 s eSn? 16 h 13 m 30.6 s e 16 h 14 m 15.3 s
233	7.	Ch	—	1/2	2	—	e 01 h 57 m 10.1 s Spuren
234	7.	Ne	45	<1/2	1	—	ePg 09 h 41 m 48.6 s eSg 09 h 41 m 54 s Nach Zürich: H = 09 h 41 m 41 s
235	7.	Ba Ne	— 8500	<1/2 <1/2	2 5-7	—	ePn 21 h 57 m 06.7 s ePn 21 h 57 m 12.8 s USCGS: H = 21 h 45 m 26 s, 56° ½ N, 154° W, Magn. 5 ¾ (Pas.), 5 (Ber.). Region der Kodiak-Inseln
236	8.	Ba Ne	8300 8400	1 1	8-12 15-45	—	ePn 00 h 59 m 22.8 s eSn 01 h 09 m 49 s ePn 00 h 59 m 29.8 s eSn 01 h 09 m 14 s USCGS: H = 00 h 47 m 38 s, 55° N, 162° ½ E, Magn. 6 ½ (Pas.). Bei der Ostküste von Kamtchatka
237	10.	Ne Ba Ch	183 293 —	6 2 0,3	3 2 1	—	iPg 14 h 58 m 14.4 s iSg 14 h 58 m 36 s e 14 h 58 m 33 s ePg 14 h 58 m 17.3 s eSg 14 h 58 m 52 s ePg 14 h 58 m 32.9 s eSg 14 h 59 m 06.8 s Nach Zürich: H = 14 h 57 m 41.7 s
238	11.	Ba Ne	— 37	<1 <1/2	2 2	—	e 14 h 41 m 18.3 s ePg 14 h 41 m 32.6 s eSg 14 h 41 m 28 s Nach Zürich: H = 14 h 41 m 17 s
239	11.	Ba	3350	1	5-7	—	ePn 23 h 30 m 18.8 s eSn 23 h 35 m 16 s
240	11.	Ch	1280	0,4	6	—	ePn 23 h 30 m 43.1 s eSn 23 h 32 m 54.6 s unsichere Einsätze
241	12.	Ne Ba	— —	<1/2 <1/2	5-7 1	—	e*Pn 04 h 15 m 54.5 s ePn 04 h 15 m 54.9 s USCGS: H = 04 h 05 m 20 s, 15° S, 28° E, Nord-Rhodesien. Verspürt in Transvaal und Rhodesien

Nr.	Datum	Station	Epizentral- entfernung nach S-P	Max. Doppel- Amplit.	Ungef. Dauer der Reg.	Tab. I Nr.	Phasen, Bemerkungen
	1959		km	mm	min		
242	12. Aug.	Ba Ne Ch	— — —	3 1 —	60-120 60-120 —	—	ePKP 10 h 18 m 14.3 s e 10 h 25 m 38 s eL 11 h 11 m 59 s ePKP 10 h 18 m 17.3 s ePKP 10 h 18 m 28 s ML eL etwa 11 h 20 m bis 11 h 40 m USCGS: H = 09 h 58 m 22 s, 16° ½ S, 177° ½ W, Magn. 6 ½ (Pas., Ber.). Region der Fidji-Inseln
243	13.	Ne Ba	253 277	<1/2 <1/2	2 2	—	ePg 22 h 00 m 13.1 s eSg 22 h 00 m 43 s ePg 22 h 00 m 27.3 s eSg 22 h 01 m 00 s Nach Zürich: H = 21 h 59 m 33 s
244	14.	Ba	9400	1	15-45	—	ePn 00 h 46 m 41.0 s eSPP 00 h 58 m 16 s
245	15.	Ch Ba Ne	9300 9600 9700	6 14 10	105 60-120 60-120	—	ePn 09 h 09 m 52.8 s D Sn 09 h 20 m 17 s ML eL etwa bis 10 h 30 m ePn 09 h 09 m 55.4 s eSn 09 h 20 m 39 s e 09 h 13 m 27 s eL 09 h 44 m 52 s e 09 h 20 m 08 s eSn 09 h 20 m 47 s USCGS: H = 08 h 57 m 04 s, 23° N, 121° E, Magn. 6 ¾—7 (Pas.). Formosa 16 Tote, viele Verletzte; ausgedehnter Material- und Landschaden
246	16.	Ne	16700	<1/2	8-12	—	ePKP 01 h 11 m 37.2 s USCGS: H = 00 h 51 m 40 s, 21° S, 169° E, Magn. 6 (Ber.). Loyalty-Inseln
247	16.	Ch Ne Ba	1330 1530 —	1/2 1 1	7 8-12 8-12	—	ePn 18 h 45 m 20.4 s eSn 18 h 47 m 37.0 s ePn 18 h 45 m 37.3 s eSn 18 h 48 m 12 s ePn 18 h 45 m 39.4 s eSn 18 h 48 m 20 s
248	17.	Ch Ne Ba	— 1150 1270	— 16 85	20 15-45 15-45	—	ePn 01 h 35 m 34.1 s ePn 01 h 35 m 52.7 s eSn 01 h 37 m 52 s e 01 h 38 m 21 s ePn 01 h 35 m 53.0 s eSn 01 h 38 m 03 s USCGS: H = 01 h 33 m 15 s, 41° ½ N, 20° ½ E. Grenze Albanien—Jugoslawien. Verspürt in Korfu
249	17.	Ch Ba Ne	— — 1190	1 1/2 3 1	8 15-45 8-12	—	ePn 04 h 31 m 24.6 s ePn 04 h 31 m 40.0 s ML eSn 04 h 34 m 10 s tePn 04 h 31 m 51.2 s eSn 04 h 33 m 54 s BCIS: H = 04 h 29 m 01 s, Nachstoß von Nr. 247 (H = 01 h 33 m 15 s)
250	17.	Ch Ba Ne	14700 14600 14660	2 4 2	75 60-120 60-120	—	ePKP 21 h 23 m 55.3 s D ePP 21 h 26 m 18.1 s ePKS 21 h 27 m 25.5 s eL 22 h 04 m—22 h 40 m ePKP 21 h 24 m 00.5 s ePP 21 h 26 m 21 s eSKKS 21 h 23 m 07 s eL 22 h 07 m 52 s USCGS: H = 21 h 04 m 40 s, 7° ½ S, 156° E, Magn. 7 ¼ (Pas.). Salomon-Inseln
251	18.	Ch	—	0,3	3	—	ePn 00 h 46 m 34.0 s USCGS: H = 00 h 33 m 43 s, 22° N, 121° ½ E. Region der Südküste von Formosa
252	18.	Ne Ba Ch	8200 8100 8300	67 50 20	>120 >120 120	—	ePn 06 h 48 m 54.0 s e 06 h 53 m 22 s eSn 06 h 58 m 29 s ePn 06 h 48 m 54.5 s e 06 h 49 m 09 s eSn 06 h 58 m 25 s eL 07 h 13 m 09 s ePn 06 h 49 m 02.2 s D e 06 h 51 m 18.9 s K ePP 06 h 52 m 07.1 s D eSn 06 h 58 m 43.7 s eL 07 h 12 m—08 h 45 m USCGS: H = 06 h 37 m 13 s, 44° ½ N, 111° W, Magn. 7.1 (Pas.). Yellowstone Park, Wyoming (USA). Viele Tote und Verletzte; hauptsächlich Materialschaden.
253	18.	Ba Ch	8000 8300	2 0,7	60-120 45	—	ePn 15 h 37 m 41.0 s eSn 15 h 47 m 02 s eL 16 h 04 m 47 s ePn 15 h 37 m 48.9 s eSn 15 h 47 m 28.9 s eL 16 h 06 m USCGS: H = 15 h 26 m 06 s, 44° ½ N, 111° W, Magn. 6 ½ (Pas.). Nachstoß Yellowstone Park, Wyoming (USA)

Nr.	Datum	Station	Epizentral-entfernung nach S-P	Max. Doppel-Amplif.	Ungef. Dauer der Reg.	Tab. I Nr.	Phasen, Bemerkungen
254	1959 Aug. 18.	Ch Ba	990 1230	1,8 5	10 15-45	—	ePn 22 h 06 m 21.3 s eSn 22 h 08 m 04.5 s ePn 22 h 06 m 38.0 s eSn 22 h 08 m 44 s BCIS: H = 22 h 04 m 00 s, 41° N, 19° ¼ E. Albanien
255	21.	Ch Ba Ne	160 303 —	0,4 1 <1,2	1 2 2	—	ePg 01 h 23 m 02.4 s iSg 01 h 23 m 21.4 s ePg 01 h 23 m 27.2 s eSg 01 h 24 m 03 s ePg 01 h 23 m 34.7 s e 01 h 23 m 51 s Nach Zürich: H = 01 h 22 m 37 s
256	21.	Ch Ne Ba	16100 16100 —	0,5 1 1	8 8-12 8-12	—	ePKP 08 h 23 m 02.7 s epPKP 08 h 25 m 22.2 s ePKP 08 h 23 m 05.6 s epPKP 08 h 25 m 24 s ePKP 08 h 23 m 09.2 s USCGS: H = 08 h 03 m 15 s, 50° ½ S, 139° ½ E, Magn. 5 ¼—6 (Pas.). Indischer Ozean
257	21.	Ba	—	<1/2	1	—	e 08 h 58 m 45.2 s
258	21.	Ch Ne Ba	— — 15900	0,3 1 <1/2	3 5-7 8-12	—	ePKP 09 h 57 m 35.9 s ePKP 09 h 57 m 40.9 s ePKP 09 h 57 m 46.7 s ePP 10 h 04 m 33 s USCGS: H = 09 h 37 m 49 s, 50° ½ S, 140° E. Indischer Ozean
259	23.	Ne Ba	2500 2700	2 6	15-45 15-45	—	ePn 22 h 24 m 47 s eSn 22 h 28 m 42 s ePn 22 h 24 m 56 s eSn 22 h 29 m 10 s USCGS: H = 22 h 21 m 35 s, 36° N, 3° ½ W. Mittelmeer
260	23.	Ch	4200	0,5	15	—	ePn 22 h 25 m 01.9 s eSn 22 h 30 m 52 s
261	24.	Ne	—	1	2	—	ePg 12 h 44 m 18.3 s USCGS: H = 12 h 29 m 30 s, 53° N, 159° ½ E. Kamtschatka
262	24.	Ne Ba Ch	— 13930 —	1 2 1,3	>120 60-120 75	—	ePKP 21 h 50 m 15.8 s e 21 h 54 m 13 s ePKP 21 h 50 m 23.4 s e 21 h 53 m 09 s eSKKS 21 h 58 m 12 s eL 22 h 38 m 10 s ePKP 21 h 50 m 23.6 s D e 21 h 53 m 08.6 s eL etwa 22 h 38 m USCGS: H = 21 h 30 m 46 s, 10° ½ S, 161° E, Magn. 7 (Pas.). Salomon-Inseln
263	26.	Ne Ba Ch	9250 9250 —	2 10 2,5	60-120 60-120 50	—	iPn 08 h 38 m 06.4 s eSn 08 h 48 m 31 s ePn 08 h 38 m 07.9 s e 08 h 38 m 48 s eSn 08 h 48 m 35 s ePn 08 h 38 m 15.3 s ML eSn 08 h 48 m 34.2 s eL 09 h 13 m—09 h 30 s Spuren USCGS: H = 08 h 25 m 30 s, 18° N, 94° ½ W, Magn. 6 ¼ (Pas.). Vera Cruz, Mexiko. 40 Tote, viele Verletzte; gewaltiger Schaden in der Landenge von Tehuantepec
264	26.	Ne Ba Ch	8900 9100 —	1 2 0,8	60-120 60-120 50	—	ePn 10 h 39 m 30.9 s eSn 10 h 49 m 36 s ePn 10 h 39 m 32.4 s ePPS 10 h 51 m 00 s ePn 10 h 39 m 38.2 s eSn 10 h 49 m 26.8 s eL 11 h 10 m—11 h 27 m USCGS: H = 10 h 27 m 41 s, 51° N, 132° W. Im Süden der Königin-Charlotte-Inseln
265	28.	Ne	—	<1/2	1	—	e 02 h 09 m 15.3 s USCGS: H = 01 h 56 m 56 s, 48° N, 155° E, Kurilen-Inseln
266	28.	Ne	45	<1/2	1	—	ePg 12 h 18 m 51 s eSg 12 h 18 m 51 s Nach Zürich: H = 12 h 18 m 38 s

Nr.	Datum	Station	Epizentral-entfernung nach S-P	Max. Doppel-Amplif.	Ungef. Dauer der Reg.	Tab. I Nr.	Phasen, Bemerkungen
267	1959 Aug. 28.	Ba Ne	7500 —	1 1	8-12 8-12	—	ePn 16 h 11 m 51.3 s eSn 16 h 20 m 49 s ePn 16 h 11 m 55.3 s USCGS: H = 15 h 52 m 10 s, 16° S, 167° E. Neue Hebriden
268	29.	Ba	72	<1/2	1	—	ePg 07 h 44 m 29.5 s eSg 07 h 44 m 38 s
269	29.	Ne	50	<1/2	1	—	ePg 07 h 44 m 50.2 s eSg 07 h 44 m 56 s
270	29.	Ne	—	<1/2	5-7	—	e 13 h 59 m 29.9 s
271	29.	Ba	—	1	1	—	e 14 h 00 m 06.5 s
272	29.	Ch Ba Ne	— 6500 6600	12 22 11	<60 60-120 60-120	—	ePn 17 h 13 m 10.2 s D e 17 h 16 m 21.8 s e 17 h 30 m 00 s e 17 h 41 m 38 s e 17 h 24 m 06 s ePn 17 h 13 m 11.5 s eSn 17 h 21 m 15 s iPn 17 h 13 m 18.0 s eSn 17 h 21 m 28 s USCGS: H = 17 h 03 m 10 s, 52° N, 106° ½ E, Magn. 6 ½—6 ¾ (Pas.), 6 ¾ (Ber.). Baikal-See, UdSSR
273	30.	Ne Ba Ch	2500 3000 3500	2 3 0,3	15-45 15-45 10	—	ePn 03 h 28 m 11.9 s eSn 03 h 32 m 12 s ePn 03 h 28 m 16.7 s eSn 03 h 32 m 51 s ePn 03 h 28 m 26.0 s eSn? 03 h 33 m 31 s USCGS: H = 03 h 24 m 54 s, 35° ½ N, 3° W. Mittelmeer nördlich von Spanisch-Marokko. Verspürt in Melillas
274	31.	Ne	—	<1/2	3	—	e 09 h 05 m 11.5 s
275	31.	Ch Ba Ne	21 158 201	5,5 2 1	1 2 2	13	iPg 10 h 44 m 07.6 s K iSg 10 h 44 m 10.1 s ePg 10 h 44 m 35.4 s iSg 10 h 44 m 54 s ePg 10 h 44 m 40.2 s iSg 10 h 45 m 05.2 s Nach Zürich: H = 10 h 44 m 04.0 s, 46° 39' N, 9° 38' E. Albulatal. Verspürt in Savognin, Surava und Filisur (IV)
276	31.	Ne	150	1/2	2	—	ePg 18 h 14 m 25.2 s iSg 18 h 14 m 43 s Nach Zürich: H = 18 h 13 m 58 s
277	Sept. 1.	Ch Ba Ne	1000 — 1130	37 80 17	20 15-45 15-45	—	ePn 11 h 40 m 01.3 s e 11 h 40 m 02.4 s D i 11 h 40 m 04.9 s K Spuren eSn 11 h 41 m 44.5 s ePn 11 h 40 m 10.7 s e*Sn 11 h 42 m 26 s e*Pn 11 h 40 m 20.3 s e 11 h 40 m 28 s eSn 11 h 42 m 17 s e 11 h 43 m 23 s USCGS: H = 11 h 37 m 42 s, 41° ½ N, 20° E. Albanien. 2 Tote, 34 Verletzte; ausgedehnter materieller Schaden
278	3.	Ch Ne	1080 1120	2,7 1	7 8-12	—	ePn 04 h 04 m 23.0 s e 04 h 05 m 06.9 s ePn 04 h 04 m 42.5 s eSn 04 h 06 m 38 s USCGS: H = 04 h 02 m 00 s, 41° N, 20° E. Albanien
279	3.	Ba	267	2	2	—	ePg 14 h 39 m 20.9 s eSg 14 h 39 m 52 s Nach Zürich: H = 14 h 38 m 33 s
280	3.	Ne	—	<1/2	3	—	e 14 h 44 m 56.6 s
281	4.	Ne Ch Ba	177 237 91	14 1,8 50	5-7 4 5-7	—	ePg 08 h 37 m 16.1 s ? e 08 h 37 m 17 s ? iSg 08 h 37 m 37 s ? e*Pn 08 h 37 m 24.9 s D e 08 h 37 m 28.4 s K iPg 08 h 37 m 31.3 s iSg 08 h 37 m 59.4 s iPg 08 h 37 m 55.3 s ? iSg 08 h 38 m 06 s ? BCIS: H = 08 h 36 m 53 s, 48° 23' N, 7° 43' E. Verspürt im Elsaß und im Lande Baden (Deutschland). Leichter Schaden im Epizentralgebiet

Nr.	Datum	Station	Epizentral-entfernung nach S-P	Max. Doppel-Amplit.	Ungef. Dauer der Reg.	Tab. I Nr.	Phasen, Bemerkungen
			km	mm	min		
282	1959 Sept. 4.	Ch	53	—	—	—	ePg 11 h 00 m 59 s eSg 11 h 01 m 05.2 s Nach Zürich: H = 11 h 00 m 49 s
283	4.	Ne Ba	—	1	5-7	—	eP 11 h 03 m 53.3 s eP etwa 11 h 04 m Keine Zeitmarken
284	4.	Ch	1000	0,3	5	—	ePn 16 h 18 m 40.6 s eSn 16 h 20 m 23.9 s
285	4.	Ne	—	<1/2	5-7	—	ePn 16 h 21 m 31.6 s
286	4.	Ba	1130	2	5-7	—	ePn 16 h 36 m 26.3 s eSn 16 h 38 m 23 s
287	4.	Ba	—	1	5-7	—	ePn 18 h 56 m 59.3 s USCGS: H = 18 h 26 m 41 s, 1° S, 24° W. Atlantischer Ozean
288	8.	Ne Ba	107 170	2 1	2	—	iPg 23 h 58 m 57.3 s iP* 23 h 58 m 58.3 s iSg 23 h 59 m 10 s ePg 23 h 59 m 33.0 s eSg 23 h 59 m 53 s Nach Zürich: H = 23 h 58 m 36 s, 46° 04' N, 7° 08' E. Am Berg Le Catogne, bei Les Valettes
289	9.	Ne	660	<1/2	4	—	ePn 14 h 08 m 15.7 s e 14 h 08 m 25 s e*Sn 14 h 09 m 24 s BCIS: H = 14 h 06 m 46.2 s, 51° 25' N, 3° 15.5' E. An der Straße von Dover Zerstörung einer Schiffsmole in 10 m Tiefe
290	9.	Ba	135	1	2	—	ePg 14 h 09 m 35.0 s eSg 14 h 09 m 51 s Nach Zürich: H = 14 h 09 m 10.7 s
291	10.	Ne	180	3	3	—	iPg 00 h 03 m 13.7 s e 00 h 03 m 33 s eSg 00 h 03 m 35 s Nach Straßburg: H = 00 h 02.7 s, 45° 3' N, 7° 5' E. Piemont
292	10.	Ne	—	<1/2	5-7	—	e 14 h 04 m 48.1 s
293	12.	Ba	13700	<1/2	15-45	—	ePP 02 h 14 m 32.7 s USCGS: H = 01 h 53 m 47 s, 3° S, 146° 1/2 E. Bismarck-Meer
294	14.	Ne Ch Ba	17800 17800 —	7 — —	>120	—	ePKP 14 h 29 m 42.2 s ePP 14 h 34 m 42 s ePKP 14 h 29 m 42.6 s D ePP 14 h 34 m 15.6 s K ePKP 14 h 29 m Keine Zeitmarken USCGS: H = 14 h 09 m 39 s, 28° 1/2 S, 177° W, Magn. 7 3/4 (Pas.), 7 3/4—8 (Ber.). Kermadec-Inseln
295	14.	Ne Ch	17900 —	1 0,3	8-12 7	—	ePKP 17 h 26 m 17.7 s ePKS 17 h 30 m 44 s ePKP 17 h 27 m 01.7 s D e 17 h 30 m 55.9 s D USCGS: H = 17 h 06 m 15 s, 29° S, 176° 1/2 W. Nachstoß bei den Kermadec-Inseln
296	14.	Ne	—	<1/2	3	—	e 17 h 34 m 50.4 s
297	15.	Ch Ne	17700 17900	1 1	<120 15-45	—	ePKP 06 h 19 m 49.9 s epPKP 06 h 20 m 31.2 s epPKS 06 h 24 m 00.7 s eL 07 h 35 m ePKP 06 h 20 m 29.6 s e 06 h 24 m 26 s USCGS: H = 05 h 59 m 42 s, 28° 1/2 S, 177° W, Magn. 6 1/2—6 3/4 (Pas.), 7 1/4—7 1/2 (Ber.). Nachstoß bei den Kermadec-Inseln
298	15.	Ba	—	4	60-120	—	ePKP 07 h 05 m 00.5 s epPKP 07 h 05 m 41 s eL 07 h 28 m 28 s

Nr.	Datum	Station	Epizentral-entfernung nach S-P	Max. Doppel-Amplit.	Ungef. Dauer der Reg.	Tab. I Nr.	Phasen, Bemerkungen
			km	mm	min		
299	1959 Sept. 15.	Ne Ba	17000 16700?	2 1	8-12 8-12	—	ePKP 11 h 24 m 23.1 s iPKP 11 h 24 m 49 s esPKP 11 h 28 m 24 s e*PKP 11 h 24 m 47.5 s ePKP 11 h 25 m 03 s USCGS: H = 11 h 05 m 33 s, h = 600 km, 21° 1/2 S, 179° 1/2 W, Magn. 6 1/2 (Ber.). Region der Fidji-Inseln
300	16.	Ch Ne Ba	1920 2040 —	0,8 1 2	5 8-12 5-7	—	ePn 05 h 17 m 53.4 s eSn 05 h 21 m 06.0 s iPn 05 h 18 m 08.7 s eSn 05 h 21 m 33 s ePn 05 h 18 m 22.4 s USCGS: H = 05 h 13 m 50 s, 35° 1/2 N, 26° E. Bei der Küste von Kreta
301	18.	Ba Ne	— —	2 1	15-45 8-12	—	e 02 h 11 m 04.8 s e 02 h 13 m 05 s e 02 h 12 m 50.5 s
302	19.	Ne	—	<1/2	5-7	—	e 16 h 09 m 44.2 s
303	19.	Ba	640	1	3	—	ePn 22 h 18 m 11.5 s eSn 22 h 19 m 18 s ML
304	19.	Ne	95	<1/2	2	—	ePg 22 h 19 m 16.7 s eSg 22 h 19 m 28 s Nach Zürich: H = 22 h 19 m 00 s
305	22.	Ne	355	<1/2	2	—	ePg 23 h 09 m 55.1 s eSg 23 h 10 m 37 s Nach Zürich: H = 23 h 08 m 51 s
306	22.	Ne	370	1	3	—	ePg 23 h 10 m 04.6 s eSg 23 h 10 m 48 s Nach Zürich: H = 23 h 07 m 58 s
307	22.	Ch	228	0,3	1	—	ePg 23 h 54 m 31.7 s eSg 23 h 54 m 58.5 s Nach Zürich: H = 23 h 53 m 51 s
308	24.	Ba Ne	650 —	1 <1/2	3 2	—	ePn 05 h 38 m 07.3 s eSn 05 h 39 m 14 s ML ePn 05 h 38 m 51.8 s e 05 h 38 m 59 s
309	25.	Ba	9700	5	60-120	—	e*Pn 02 h 49 m 46.6 s eSn 03 h 00 m 30 s eL 03 h 24 m 43 s USCGS: H = 02 h 36 m 48 s, 22° N, 122° E. Bei der Ostküste von Formosa
310	26.	Ba	280	1	2	—	ePg 04 h 27 m 58.9 s eSg 04 h 28 m 32 s Nach Zürich: H = 04 h 27 m 09 s
311	26.	Ne Ba	9300 9300	1 1	60-120 15-45	15	ePn 08 h 33 m 19.3 s eSKS 08 h 43 m 33 s ePn 08 h 33 m 19.4 s eL 09 h 09 m 23 s USCGS: H = 08 h 20 m 51 s, 43° 1/2 N, 128° 1/2 W. An der Küste des Staates Oregon (USA)
312	26.	Ch Ba Ne	162 — —	1,6 1 1	>1 2 1	—	e*P 18 h 47 m 38.6 s SpurePg 18 h 47 m 40.2 s e 18 h 47 m 56.4 s iSg 18 h 47 m 59.3 s ePg 18 h 47 m 46.9 s e 18 h 48 m 38 s iPg 18 h 48 m 49.6 s e 18 h 48 m 53 s Nach Zürich: H = 18 h 47 m 10 s
313	30.	Ba	205	1	1	—	ePg 13 h 10 m 44.9 s eSg 13 h 11 m 09 s Nach Zürich: H = 13 h 10 m 08 s
314	30.	Ne	25	1	1	—	iPg 13 h 38 m 45.9 s iSg 13 h 48 m 49 s Nach Zürich: H = 13 h 38 m 41.4 s
315	30.	Ne	20	1	1	—	iPg 14 h 43 m 40.5 s eSg 14 h 43 m 43 s Nach Zürich: H = 14 h 43 m 37 s

Nr.	Datum	Station	Epizentral-entfernung nach S-P	Max. Doppel-Amplit.	Ungef. Dauer der Reg.	Tab. I Nr.	Phasen, Bemerkungen
	1959		km	mm	min		
316	Sept. 30.	Ne	—	1	1	—	e 15 h 54 m 58.7 s
317	30.	Ch Ba Ne	— — —	0,4 2 1	3 5-7 5-7	— — —	ePn 20 h 45 m 43.2 s ePn 20 h 45 m 44.4 s e 20 h 48 m 36 s ePn 20 h 45 m 45.6 s USCGS: H = 20 h 25 m 58 s, 18° S, 168° E, Magn. 6 1/2 (Pas.). Neue Hebriden
318	Okt. 1.	Ne	—	1	5-7	—	e 04 h 41 m 22.7 s
319	5.	Ch	—	0,2	2	—	e 10 h 23 m 00.0 s
320	5.	Ch Ba Ne	1030 — 1250	4,5 9 2	15 8-12 15-45	— — —	eP 20 h 36 m 25.8 s eSS 20 h 38 m 13.9 s eP 20 h 36 m 41.3 s e 20 h 39 m 08 s eP 20 h 36 m 43.6 s eSSSS 20 h 38 m 43 s eQ 20 h 39 m 21 s USCGS: H = 20 h 34 m 04 s, 41° N, 20° E, Vorstoß von Nr. 320. Albanien
321	7.	Ch Ba Ne	1030 1190 1215	28,5 60 18	15 8-12 15-45	— — —	eP 08 h 33 m 03.6 s i 08 h 33 m 06.8 s iS 08 h 34 m 44.8 s e 08 h 34 m 47.1 s eP 08 h 33 m 15.2 s eSS 08 h 35 m 28 s eP 08 h 33 m 20.4 s eSSS 08 h 35 m 35 s USCGS: H = 08 h 30 m 41 s, 41° N, 20° E. Albanien
322	8.	Ba Ch Ne	— — —	1 0,3 1	2 1-2 5-7	— — —	ePKP 00 h 23 m 15.4 s ePKP 00 h 23 m 18.0 s ePKP 00 h 23 m 19.6 s USCGS: H = 00 h 03 m 28 s, 19° S, 169° E. Neue Hebriden
323	9.	Ne Ba	282 355	1 2	2 2	— —	iPg 10 h 52 m 53.6 s eSg 10 h 53 m 27 s ePg 10 h 53 m 04.2 s eSg 10 h 53 m 46 s Nach Zürich: H = 10 h 52 m 02 s
324	9.	Ne	—	<1/2	1	—	e 16 h 18 m 12.8 s
325	11.	Ne Ba	255 —	1 2	5-7 2	— —	ePg 20 h 15 m 02.8 s eSg 20 h 15 m 33 s ePg 20 h 15 m 51.9 s Nach Zürich: H = 20 h 14 m 17 s
326	12.	Ch Ba	— —	0,6 1	15 3	— —	e*Pn 03 h 34 m 44.7 s e 03 h 35 m 19 s eP 03 h 34 m 50.6 s USCGS: H = 03 h 21 m 52 s, 2° N, 98° 1/2 E. An der Küste von Sumatra
327	13.	Ch Ba Ne	242 348 —	0,6 2 <1/2	2 2 4	— — —	ePg 00 h 33 m 42.6 s eSg 00 h 34 m 11 s ePg 00 h 34 m 09.8 s eSg 00 h 34 m 52 s e 00 h 34 m 24.3 s e 00 h 34 m 52 s Nach Zürich: H = 00 h 32 m 59 s Ligurischer Apennin
328	15.	Ba Ch Ne	— — —	2 0,7 1	60-120 60 15-45	— — —	ePKP 06 h 33 m 44.0 s eL 07 h 13 m 14 s e*PKP 06 h 33 m 46 s ePPP 06 h 40 m 15 s eL etwa 07 h 29 s ePP 06 h 34 m 07.6 s e*SKS 06 h 40 m 29 s USCGS: H = 06 h 15 m 32 s, 1/2° N, 120° 1/2 E, Magn. 6 1/2 (Pas.). Celebes
329	15.	Ba	—	1	1	—	ePn 07 h 52 m 45.2 s USCGS: H = 07 h 40 m 20 s, 44° N, 148° E. Kurilen-Inseln
330	17.	Ch Ba	165 —	 <1/2	 <1/2	— —	ePn(z) 10 h 13 m 57.9 s ePn(x) nicht erkennbar eP*(y) 10 h 13 m 58.2 s eSn(z) 10 h 14 m 17.7 s eSg(x) 10 h 14 m 19.8 s eSn(y) 10 h 14 m 17.7 s (z) = Vertikalkomponente (x) = N 62° W } Horizontalkomponenten (y) = N 28° E } eS 10 h 14 m 56.2 s Sprengung in Eschenlohe (Deutschland) mit 8.8 t Sprengstoff. Sprengzeit 10 h 13 m 30 s

Nr.	Datum	Station	Epizentral-entfernung nach S-P	Max. Doppel-Amplit.	Ungef. Dauer der Reg.	Tab. I Nr.	Phasen, Bemerkungen
	1959		km	mm	min		
331	Okt. 18.	Ba Ne	8800 8900	2 1	3 4	— —	ePn 17 h 18 m 23.2 s ePn 17 h 18 m 26.3 s USCGS: H = 17 h 06 m 13 s, 50° 1/2 N, 156° E. Region der Südküste von Kamtschatka
332	19.	Ch Ba Ne	— — —	0,3 1 <1/2	1 2 4	— — —	ePn 02 h 59 m 13.1 s D ePn 02 h 59 m 13.8 s ePn 02 h 59 m 16.3 s USCGS: H = 02 h 46 m 49 s, 44° 1/2 N, 148° E. Kurilen-Inseln
333	19.	Ba Ne	— —	1 <1/2	1 2	— —	ePg 12 h 16 m 29.1 s e 12 h 16 m 46 s iPg 12 h 16 m 36.6 s e 12 h 16 m 46 s
334	22.	Ba	—	1	1	—	e 17 h 41 m 42.8 s
335	24.	Ch Ne Ba	4700 4800 4800	0,4 1 2	30 15-45 15-45	— — —	ePn 23 h 48 m 38.3 s ePP 23 h 50 m 20 s ePn 23 h 48 m 47.3 s ePn 23 h 48 m 48.2 s ePcP 23 h 50 m 37 s USCGS: H = 23 h 40 m 34 s, 41° 1/2 N, 70° E. Kazakh (UdSSR)
336	25.	Ne Ba	— —	1 1	15-45 5-7	— —	e 06 h 56 m 46.8 s e 06 h 56 m 49.2 s e 06 h 58 m 11 s Nach Straßburg: H = 06 h 51.2 m. Region 500 km nördlich der Azoren, Atlantik
337	25.	Ch Ba Ne	— 8200 —	0,5 2 1	2 15-45 5-45	— — —	ePn 16 h 03 m 13.2 s D ePn 16 h 03 m 27.8 s eSn 16 h 13 m 04 s ePn 16 h 03 m 29.0 s USCGS: H = 15 h 57 m 51 s, 39° N, 42° E. Im Osten der Türkei 12 Verletzte, leichter Schaden in Hinnis. Verspürt auch in Erzerum
338	26.	Ba Ch Ne	9600 9650 9680	5 2,5 2	60-120 60 60-120	— — —	ePn 07 h 47 m 46.3 s ePcP 07 h 47 m 52 s eScS 07 h 58 m 14 s eL 08 h 23 m 18 s ePn 07 h 47 m 51.9 s ePP 07 h 51 m 14.1 s eSn 07 h 58 m 14 s eL etwa 08 h 22 m ePn 07 h 47 m 55.7 s eSn 07 h 58 m 22 s USCGS: H = 07 h 35 m 12 s, h = 60 km, 37° 1/2 N, 142° 1/2 E, Magn. 6 1/2 (Pas.), 6 (Ber.). Bei der Ostküste von Hondo, Japan
339	27.	Ba Ch Ne	9000 9100 —	13 2,3 2	60-120 60 60-120	— — —	iPn 07 h 05 m 03.5 s eSn 07 h 15 m 12 s ML eL 07 h 43 m 20 s iP 07 h 05 m 04.4 s K eScS 07 h 15 m 11.5 s eL 07 h 39 m ePn 07 h 05 m 15.2 s e 07 h 15 m 43 s USCGS: H = 06 h 52 m 50 s, h = 100 km, 45° 1/2 N, 151° E, Magn. 6 1/4—6 1/2 (Ber.). Kurilen-Inseln
340	29.	Ne Ba	282 351	1 3	4 1	— —	ePg 11 h 12 m 52.7 s eSg 11 h 13 m 26 s ePg 11 h 13 m 02.6 s eSg 11 h 13 m 44 s Nach Zürich: H = 11 h 12 m 01 s
341	29.	Ch Ne	7500 —	1,5 1	12 5-7	— —	ePn 14 h 41 m 22.0 s iSn 14 h 50 m 22.5 s ePn 14 h 41 m 27.6 s USCGS: H = 14 h 30 m 24 s, h = 550 km, 43° N, 131° E, Magn. 6 1/4 (Pas.). Grenze China—Korea
342	30.	Ne	—	<1/2	2	—	e*Pn 04 h 10 m 42.2 s USCGS: H = 04 h 00 m 26 s, 66° N, 136° 1/2 E. Jakutsk, UdSSR
343	31.	Ba Ne	— —	1 1	15-45 5-7	— —	ePKP 04 h 46 m 06.8 s e 04 h 56 m 03 s ePKP 04 h 46 m 10.5 s e 04 h 46 m 14 s e 04 h 48 m 18 s USCGS: H = 04 h 27 m 12 s, h = 400 km, 16° 1/2 S, 178° W. Fidji-Inseln. Verspürt in Apia

Nr.	Datum	Station	Epizentral-entfernung nach S-P	Max. Doppel-Amplit.	Ungef. Dauer der Reg.	Tab. I Nr.	Phasen, Bemerkungen
344	1959 Nov. 3.	Ch Ba Ne	—	0,5 1 1	3 5-7 8-12	—	ePP 09 h 58 m 38.5 s e 09 h 58 m 46.8 s ePP 09 h 58 m 51.2 s USCGS: H = 09 h 40 m 05 s, 10° ½ S, 111° E. Im Süden von Java
345	3.	Ne	82	2	1	—	iPn 13 h 48 m 03.9 s eSg 13 h 48 m 11 s iSn 13 h 48 m 16 s Nach Zürich: H = 13 h 47 m 42.6 s
346	4.	Ne Ba	306	<1/2 1	2 1	—	ePg 05 h 04 m 03.8 s ML eSg 05 h 04 m 40 s eP 05 h 04 m 24.3 s eS 05 h 04 m 57 s Nach Zürich: H = 05 h 03 m 09 s
347	6.	Ch Ba Ne	—	2,2 7 2	7 5-7 8-12	—	ePn 07 h 39 m 33.4 s K e 07 h 41 m 13.7 s ePn 07 h 39 m 45 s e 07 h 42 m 00 s e*Pn 07 h 39 m 48.5 s e 07 h 42 m 30 s e 07 h 43 m 08 s
348	7.	Ne Ba Ch	1240	1 3 0,5	15-45 15-45 13	—	ePP 02 h 34 m 47.8 s e 02 h 37 m 39 s ePP 02 h 35 m 00.6 s K eSSSS 02 h 37 m 24 s ePP 02 h 35 m 01.8 s e 02 h 38 m 31.2 s USCGS: H = 02 h 32 m 07 s, 36° ½ N, 2° ½ E. Region der Küste von Algier Mehrere Verletzte; leichter Schaden in Bou-Medfa
349	7.	Ba	—	1	2	—	e*PKP 22 h 36 m 25.9 s K USCGS: H = 22 h 16 m 15 s, 23° ½ S, 175° ½ W, Magn. 6 ¼ (Pas.). Region der Tonga-Inseln
350	7.	Ba	—	1	1	—	e 22 h 47 m 37.1 s
351	8.	Ch Ba Ne	8800 8800 8900	2 7 2	50 8-12 60-120	—	ePn 14 h 07 m 08.0 s K eSn 14 h 17 m 09 s eL etwa 14 h 39 m 20 s iPn 14 h 07 m 08.2 s K eSn 14 h 17 m 18 s ML eL 14 h 39 m 16 s ePn 14 h 07 m 12.3 s eSn 14 h 17 m 17 s USCGS: H = 13 h 54 m 55 s, 44° N, 140° ½ E, Magn. 6 ½ (Pas.). An der Westküste von Hokkaido verspürt
352	11.	Ne Ba	162	1 1	2 2	—	iPg 03 h 24 m 36.8 s iSg 03 h 24 m 56 s ePg 03 h 24 m 39.3 s K Nach Zürich: H = 03 h 24 m 08 s
353	14.	Ba	—	1	1	—	e 09 h 06 m 27.5 s K
354	15.	Ba	—	1	5-7	—	ePKP 08 h 25 m 32.0 s K e 08 h 28 m 08 s USCGS: H = 08 h 04 m 45 s, h etwa 500 km. Region der Fidji-Inseln
355	15.	Ch Ba Ne	5200	— 1 1	— 8-12 5-7	—	ePn 10 h 33 m 48.9 s D eSn 10 h 40 m 41 s ePn 10 h 33 m 58.1 s ePn 10 h 34 m 02.4 s ML USCGS: H = 10 h 25 m 03 s, 38° N, 74° ½ E. Tadschik, UdSSR
356	15.	Ch Ba Ne	1400 1540 1600	115 90 78	50 60-120 60-120	—	ePn(z) 17 h 11 m 41.1 s ePn(x) 17 h 11 m 42.3 s ePn(y) 17 h 11 m 43.3 s eSn 17 h 13 m 50 s ML ePn 17 h 11 m 50.5 s esP 17 h 11 m 59 s eSSSS 17 h 14 m 46 s ePn 17 h 11 m 57.4 s e 17 h 12 m 03 s eSn 17 h 14 m 39 s USCGS: H = 17 h 08 m 41 s, 37° ½ N, 20° ½ E. Region der Westküste von Griechenland. Verspürt in Griechenland und Italien. Leichter Schaden
357	15.	Ba	—	1	3	—	ePn 17 h 34 m 30.1 s USCGS: H = 17 h 31 m 25 s. Nachstoß von Nr. 355. Ionische Inseln
358	16.	Ne Ba	—	1 2	8-12 8-12	—	e*Pn 10 h 30 m 41.3 s e*Pn 10 h 30 m 51.2 s D USCGS: H = 10 h 21 m 17 s, 1° N, 26° ½ W. In der Mitte des Atlantischen Ozeans

Nr.	Datum	Station	Epizentral-entfernung nach S-P	Max. Doppel-Amplit.	Ungef. Dauer der Reg.	Tab. I Nr.	Phasen, Bemerkungen
359	1959 Nov. 17.	Ba	8700	2	8-12	—	ePn 02 h 44 m 38.2 s eScS 02 h 54 m 26 s USCGS: H = 02 h 32 m 37 s, 11° S, 66° ½ E. Indischer Ozean
360	19. ✓	Ba	—	2	4	—	ePKP 11 h 27 m 35.3 s e 11 h 29 m 58 s USCGS: H = 11 h 08 m 32 s, 5° ½ S, 146° E. Magn. 7 (Pas.). Bei der Küste von Neu-Guinea
361	19. ✓	Ch	—	0,5	>30	—	e 11 h 40 m 46.3 s e 12 h 11 m
362	19. ✓	Ch Ba Ne	1620	1,5 2 1	10 4 2	—	ePP 14 h 04 m 00.3 s epPcP 14 h 09 m 07.0 s eP 14 h 04 m 11.2 s eS 14 h 07 m 33 s ePP 14 h 04 m 21.8 s USCGS: H = 14 h 00 m 24 s, 38° ½ N, 26° E. An der Westküste der Türkei. Verspürt in Izmir, Edremit, Burhaniye und Lesbos, Griechenland
363	22. ✓	Ba	—	2	5-7	—	e*Pn 19 h 53 m 24.5 s USCGS: H = 19 h 34 m 35 s, 21° ½ S, 178° ½ W. Region der Fidji-Inseln
364	27. ✓	Ch Ne Ba	1260 1440 1420	0,8 1 4	— 15-45 8-12	—	ePP 00 h 25 m 18.2 s eSn 00 h 27 m 25.4 s ePn 00 h 25 m 33.7 s eSn 00 h 27 m 55 s ePn 00 h 25 m 36.3 s K eSn 00 h 27 m 58 s eSSSS 00 h 28 m 39 s USCGS: H = 00 h 22 m 30 s, 38° ½ N, 20° ½ E. Griechenland
365	27. ✓	Ch	—	—	—	—	e 00 h 31 m 09.7 s
366	28. ✓	Ba Ne	—	1 <1/2	3 5-7	—	ePKP 03 h 05 m 35.7 s ePKP 03 h 05 m 43.3 s USCGS: H = 02 h 45 m 45 s, 19° ½ S, 174° ½ E. Region der Fidji-Inseln
367	28. ✓	Ba	15500	1	4	—	ePKP 22 h 58 m 39.2 s ePP 23 h 01 m 38 s USCGS: H = 22 h 39 m 13 s, 13° S, 167° ½ E. Neue Hebriden
368	29. ✓	Ba Ne	6600	2 <1/2	60-120 3	—	ePn 23 h 53 m 40.1 s eSn 24 h 01 m 49 s eL 24 h 12 m 30 s ePn 23 h 53 m 43.7 s
369	30. ✓	Ch	5300	—	—	—	eP 11 h 21 m 33.7 s ePPPP 11 h 24 m 11.5 s USCGS: H = 11 h 12 m 43 s, 44° ½ N, 80° ½ E. Provinz Sinkiang, China
370	30. ✓	Ne Ch	—	2 —	8-12 —	—	e 11 h 36 m 30.3 s e 11 h 39 m 17 s e 11 h 38 m 21 s Bogenwechsel, erster Einsatz verloren
371	Dez. 1. ✓	Ch Ne Ba	1400 1560	2,3 2 4	10 15-45 15-45	—	ePPP 12 h 41 m 37.7 s D e 12 h 41 m 41.6 s eSS 12 h 43 m 47.3 s ePn 12 h 41 m 58.3 s ePcP 12 h 47 m 16 s e 12 h 44 m 18 s ePn 12 h 41 m 59.6 s K e 12 h 46 m 03 s USCGS: H = 12 h 38 m 46 s, 38° N, 21° ½ E. Bei der Westküste von Griechenland
372	2. ✓	Ch Ba Ne	575 — 740	4,7 7 3	5 4 8-12	—	ePn 18 h 21 m 18.8 s eSn 18 h 22 m 17 s e 18 h 21 m 37.2 s ML eSn 18 h 22 m 51 s ePn 18 h 21 m 40.8 s eSSSS 18 h 23 m 30 s BCIS: H = 18 h 20 m 00 s, 44° 3 N, 15° 3 E. Jugoslawien Verspürt mit Stärke VII in Pérusic, III-IV in Triest
373	8. ✓	Ba Ne	2850	1 <1/2	3 4	—	ePn 13 h 39 m 40.9 s ML ePPPP 13 h 40 m 53 s ePn 13 h 39 m 44.3 s USCGS: H = 13 h 33 m 59 s, 42° N, 44° ½ E. Georgien, UdSSR
374	14. ✓	Ba	232	1	2	—	ePg 13 h 00 m 20.6 s eSg 13 h 00 m 48 s Nach Zürich: H = 12 h 59 m 41 s

Nr.	Datum	Station	Epizentral-entfernung nach S-P	Max. Doppel-Amplit.	Ungef. Dauer der Reg.	Tab. I Nr.	Phasen, Bemerkungen
375	1959 Dez. 14.	Ba Ne Ch	8900 — —	5 2 1,6	4 5-7 3	—	ePn 22 h 13 m 07.1 s K eSP 22 h 23 m 46 s ePn 22 h 13 m 08.9 s ePn 22 h 13 m 10.3 s K USCGS: H = 22 h 00 m 50 s, 52° ½ N, 168° W, Magn. 6 (Pas.), 6 ¼ (Ber.). Fuchs-Inseln, Aläuten
376	14.	Ba	12400	14	60-120	—	ePn 23 h 36 m 48.2 s esPPP 23 h 41 m 12 s eL 24 h 18 m 40 s USCGS: H = 23 h 21 m 56 s, 59° ½ S, 31° W, Magn. 7 (Pas.). Sandwich-Inseln
377	14.	Ne Ch	— —	8 0,8	60-120 60	—	ePn 23 h 40 m 09.3 s e 23 h 41 m 02 s esSKS? 23 h 51 m 31 s e*Pn? 23 h 40 m 33.6 s D eL etwa 00 h 21 m
378	15.	Ch Ne	320 440	5,2 3	4 5-7	—	ePn 23 h 02 m 43.4 s K eSn 23 h 03 m 18 m iPn 23 h 02 m 59.2 s eSg 23 h 04 m 07 s e 23 h 03 m 47 s BCIS: H = 23 h 01 m 57 s, 44° 5 N, 11° 5 W. Epizentrum nicht weit von Bologna entfernt
379	15.	Ba	1130	12	5-7	—	ePn 23 h 02 m 52.7 s D eSn 23 h 04 m 50 s
380	17.	Ba Ne	110 96	1 6	2 2	17	ePg 02 h 43 m 59.0 s D eSg 02 h 44 m 12 s e 02 h 44 m 30 s iPg 02 h 44 m 03.4 s i 02 h 44 m 11 s iSg 02 h 44 m 14.7 s Keine übereinstimmende Zeitkorrektur Nach Zürich: H = 14 56 m 26.1 s
381	18.	Ba Ne Ch	8900 — —	3 2 0,7	3 5-7 3	—	ePn 16 h 37 m 05.0 s K ^A esP 16 h 37 m 17 s ePn 16 h 37 m 07.2 s ePn 16 h 37 m 08.5 s K USCGS: H = 16 h 24 m 50 s, 53° N, 168° ½ W, Magn. 6 ½ (Pas.). Fuchs-Inseln, Aläuten
382	21.	Ba Ne	5200 5400	7 3	15-45 15-45	—	ePn 11 h 28 m 09.5 s K eSn 11 h 34 m 58 s ePn 11 h 28 m 10.4 s eSP 11 h 35 m 19 s USCGS: H = 11 h 19 m 14 s, 14° N, 52° E, Magn. 6 ½—6 ¾ (Pas.). Golf von Aden
383	21.	Ch	3800	1,5	15	—	ePn 11 h 28 m 57.6 s eSn 11 h 34 m 19.6 s eL 11 h 35 m 15 s
384	21.	Ne Ba	206 —	<1/2 1	2 2	—	ePg 22 h 36 m 04.7 s e 22 h 36 m 10 s eSg 22 h 36 m 29 s ePg 22 h 36 m 34.2 s Nach Zürich: H = 22 h 35 m 27.7 s
385	22.	Ba	—	1	1	—	e*Pn 17 h 32 m 58.9 s K USCGS: H = 17 h 20 m 19 s, 37° ½ N, 141° ½ E. An der Längsküste von Hondo, Japan. Leicht tiefer als normal
386	23.	Ch Ne Ba	— 1210 —	0,8 1 3	5 5-7 5-7	—	ePPP 09 h 31 m 25.9 s ePn 09 h 31 m 36.4 s esPPPP 09 h 32 m 06 s ePP 09 h 31 m 39.9 s K USCGS: H = 09 h 28 m 56 s, 38° N, 14° ½ E. Bei der Nordküste von Sizilien. Mehrere Verletzte, leichter Schaden
387	23.	Ne Ba	— —	<1/2 1	1 1	—	i 19 h 22 m 11.8 s e 19 h 22 m 20.4 s
388	23.	Ne	460	<1/2	1	—	iPg 19 h 22 m 29.3 s iSg 19 h 23 m 23.5 s Nach Zürich: H = 19 h 21 m 06.8 s
389	23.	Ba	—	2	5-7	—	e 21 h 43 m 03.3 s
390	25.	Ba	—	1	2	—	ePP 10 h 36 m 29.9 s USCGS: H = 10 h 18 m 35 s, 25° ½ S, 67° W, Magn. 6 ½—6 ¾ (Pas.). Grenze Argentinien—Chile. Verspürt in Antofagasta

Nr.	Datum	Station	Epizentral-entfernung nach S-P	Max. Doppel-Amplit.	Ungef. Dauer der Reg.	Tab. I Nr.	Phasen, Bemerkungen
391	1959 Dez. 26.	Ba	—	1	3	—	ePn 18 h 30 m 12.6 s D USCGS: H = 18 h 19 m 10 s, 59° ½ N, 151° ½ W. Kenia, Pen-Insel Alaska
392	26.	Ba Ne	8700 —	2 2	5-7 15-45	—	ePn 22 h 14 m 32.9 s D ePP 22 h 17 m 33 s ePn 22 h 14 m 35.8 s USCGS: H = 22 h 02 m 35 s, 53° N, 160° E, Vorstoß Kamchatka
393	27.	Ba Ne	8800 —	1 1	3 8-12	—	ePn 04 h 59 m 46.4 s K ePP 05 h 03 m 01 s ePn 04 h 59 m 49.7 s USCGS: H = 04 h 47 m 45 s, 52° ½ N, 160° ½ E, Vorstoß Kamchatka
394	27.	Ne	—	<1/2	3	—	ePn 05 h 13 m 58.3 s USCGS: H = 05 h 01 m 55 s, 52° ½ N, 160° E. Vorstoß Kamchatka
395	27.	Ba Ne	— —	1 1	3 8-12	—	e*PP 05 h 26 m 59.2 s K e*PP 05 h 27 m 02.3 s ML USCGS: H = 05 h 22 m 39 s, 35° N, 26° E. Bei der Ostküste von Kreta
396	27.	Ba Ne	— —	1 1	3 5-7	—	ePn 07 h 03 m 28.7 s ePn 07 h 03 m 37.2 s USCGS: H = 06 h 51 m 35 s, 52° ½ N, 159° ½ E. Vorstoß Kamchatka
397	27.	Ne	—	<1/2	3	—	e 08 h 17 m 34.2 s
398	27.	Ne Ba	— —	1 1	8-12 2	—	iPn 12 h 06 m 52.2 s ePn 12 h 06 m 57.0 s USCGS: H = 11 h 54 m 48 s, 52° ½ N, 160° E. Vorstoß Kamchatka
399	27.	Ne Ba	— —	1 1	3 3	—	i 12 h 51 m 45.3 s e 12 h 52 m 00.0 s
400	27.	Ba Ch Ne	— — —	5 1,5 2	15-45 60 60-120	—	ePn 16 h 04 m 27.3 s K eL 16 h 37 m 50 s ePn 16 h 04 m 38.7 s eL 16 h 39 m iPn 16 h 04 m 40.9 s USCGS: H = 15 h 52 m 55 s, 56° N, 162° ½ E. Kamchatka
401	28.	Ch Ba Ne	— — 8800	— 4 3	— 5-7 15-45	—	ePn 07 h 32 m 24.8 s eL etwa 08 h 04 m ePn 07 h 32 m 32.9 s iPn 07 h 32 m 36.2 s eSn 07 h 42 m 35 s USCGS: H = 07 h 20 m 32 s, 52° ½ N, 160° E, Magn. 6 ½ (Pas.), 6 ¼ (Ber.). Bei der Ostküste von Kamchatka
402	28.	Ba Ne	— —	2 1	3 8-12	—	ePn 13 h 16 m 31.3 s ePn 13 h 16 m 34.7 s USCGS: H = 13 h 04 m 30 s, 52° ½ N, 160° E, Magn. 6 (Pas.). Bei der Südost- küste von Kamchatka
403	30.	Ne	38	1	1	—	iPg 15 h 14 m 11.4 s eSg 15 h 14 m 16 s Nach Zürich: H = 15 h 14 m 04.6 s
404	31.	Ne	—	<1/2	8-12	—	ePn 20 h 58 m 33.7 s USCGS: H = 20 h 52 m 55 s, 37° ½ N, 25° W. Azoren

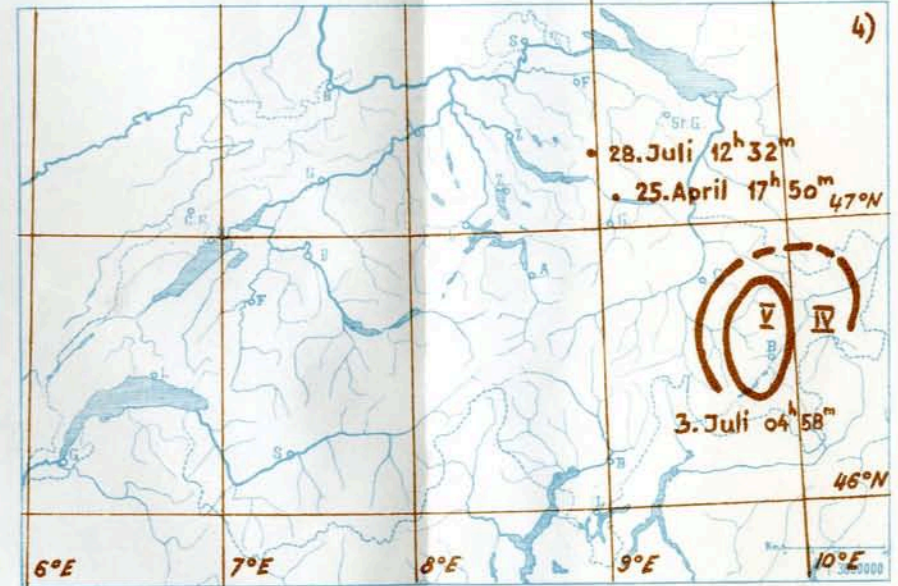
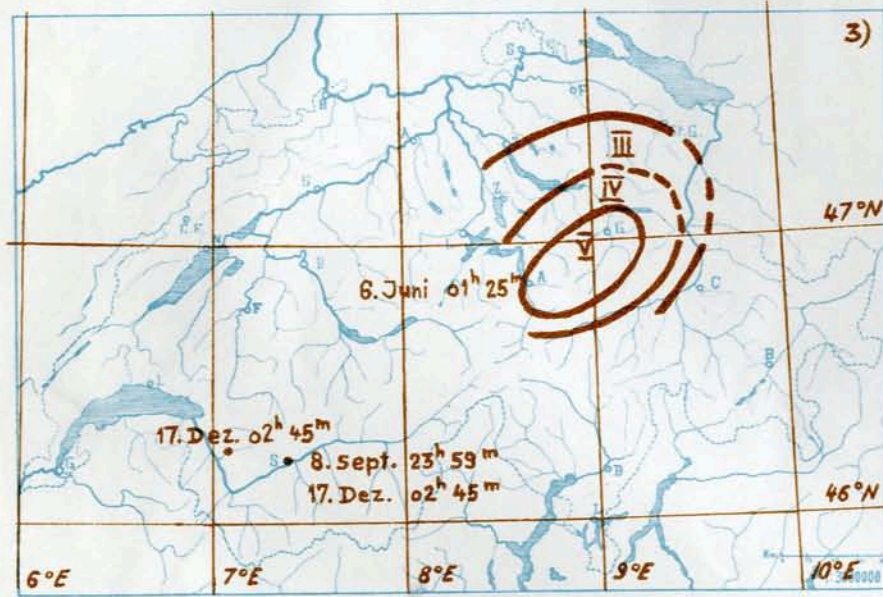
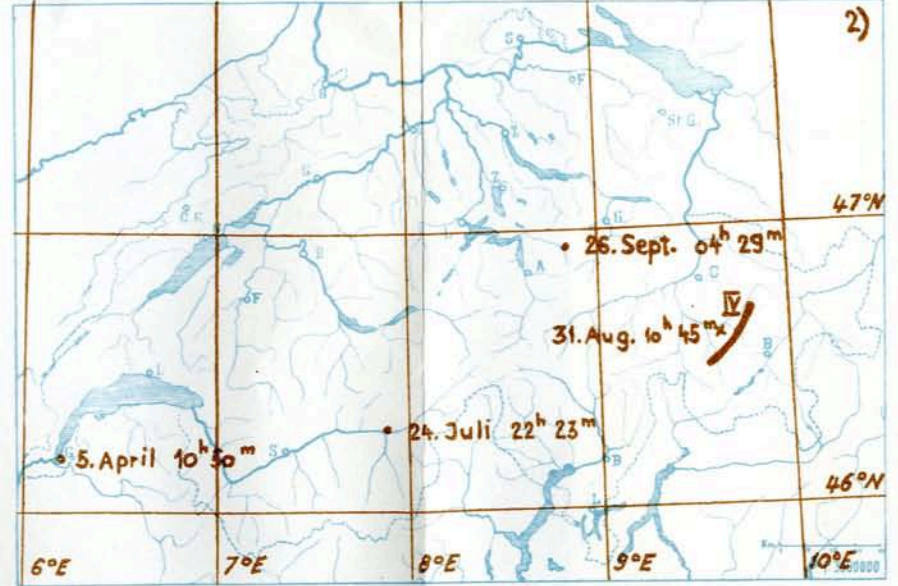
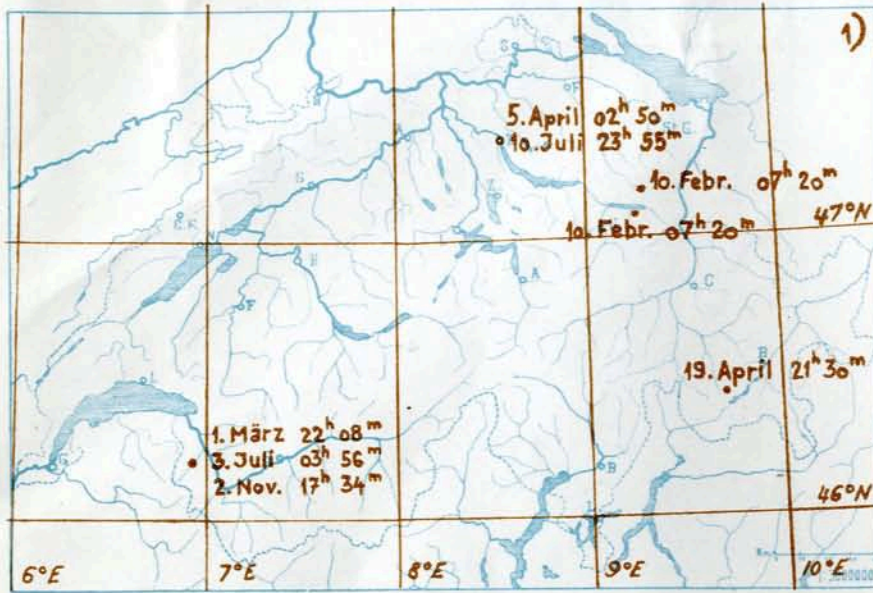
e* bedeutet: Vermutlich nicht Beginn der betreffenden Phase

Schweizerische Literatur zur Geophysik im Jahre 1959

- Friedenreich, O.*: Eine großräumige Widerstandskartierung nordwestlich von Zürich und ihre geologische Deutung. Beitr. Geologie Schweiz., Geophys., Nr. 2, 1959. Dissertation an der ETH.
- Friedenreich, O., und Weber, M.*: Über die Rinnen unter den Schottermassen des Rafzerfeldes (Kt. ZH). Ecl. Geolog. Helv., Vol. 52, Nr. 2, 1959, S. 489—493. Mitt. Inst. Geophys. ETH, Nr. 37.
- Gassmann, F.*: Zur Messung der Schweredifferenz zwischen zwei Punkten mit einem statischen Gravimeter (Fig. und Tab.). Mitt. Inst. Geophys. ETH, Nr. 35, 1959.
- Gassmann, F.*: Elastische Multipolwellen in einem Medium, das aus homogenen, isotropen, planparallelen Schichten besteht. Geofis. pura e appl., Milano, vol. 43, 1959/II, S. 83—107. Mitt. Inst. Geophys. ETH, Nr. 36, 1959, S. 3—27.
- Oulianoff, N.*: Répercussion des phénomènes géophysiques sur la sédimentation marine. Actes Soc. helv. Sci. nat., 138^e session annuelle, Glaris 1958, p. 109—111.
- Oulianoff, N.*: La géologie et les grands tunnels alpins (Fig.). Die Autostraße. Zschr. Schweiz. Autostr.-Ver., Nr. 6, 1959, S. 94—102.
- Schaad, W.*: Praktische Anwendung der Elektro-Osmose im Gebiet des Grundbaues. (Fig. und Tab.). Die Bautechnik, Heft 6 und 11, 1958, S. 210—216 und 420—429.
- Schwarz, G. TH.*: Geoelektrische Bodenuntersuchungen als Hilfsmittel der Archäologie. Testversuche in Aventicum (Fig. und Tab.). Jahrb. Schweiz. Ges. Urgesch., Bd. 47, 1958/1959, S. 96—102.
- Sübtrunk, A.*: Geophysikalische Methoden als Hilfsmittel bei der Untersuchung von Fundationsproblemen. Straße und Verkehr, 45 (1959), Nr. 6 (5. Juni 1959), S. 267—270.
- Weber, M.*: Die Laufzeiten und ihre Interpretation in der Refraktionsseismik des einachsigen inhomogenen Körpers. Geofis. pura e appl., Milano, vol. 43, 1959/II, p. 167—181. Mitt. Inst. Geophys. ETH, Nr. 36, 1959, S. 2—16.
- Weber, M.*: Das ebene n-Schichtenproblem der Reflexionsseismik mit konstanten Frontgeschwindigkeiten, beliebigen Neigungen und beliebiger Lage der Quelle. Geofis. pura e appl., Milano, vol. 43, 1959/II, S. 12—22. Mitt. Inst. Geophys. ETH, Nr. 36, 1959, S. 2—12.
- Weber, M.*: Die Laufzeitfunktion in der Reflexionsseismik des quasi einachsigen inhomogenen Körpers. Geofis. pura e appl., Milano, Mitt. Inst. Geophys. ETH, Nr. 37, 1959.

In der Schweiz im Jahre 1959 verspürte Erdbeben.

GMT



• Erschütterung verspürt

* Epizentrum

